ANEXOS

TRABAJO FINAL DE GRADO

Autor/a:
Silvia Mondéjar Ortiz

Tutor:
Luís Delfín Gómez Moya

GANDIA, 2021

ÍNDICE

ANEXO I

hr	Humedad relativa media mensual/anual (%)
np_001	Nº de días de precipitación apreciable (>= 0,1 mm) en el mes/año
nt_00	Nº de días de temperatura mínima menor o igual que 0(grados celsius)
nt_30	Nº de días de temperatura máxima mayor o igual que 30grados celsius
p_max	Precipitación máxima diaria (mm) del mes/año y fecha
p_mes	Precipitación total mensual/anual (mm)
ta_max	Temperatura máxima absoluta del mes/año y fecha (grados celsius)
ta_min	Temperatura mínima absoluta del mes/año y fecha (grados celsius)
tm_min	Temperatura media mensual/anual de las mínimas (grados celsius)
tm_mes	Temperatura media mensual/anual (grados celsius)
tm_max	Temperatura media mensual/anual de las mínimas (grados celsius)

fecha	2001-1,	fecha	2002-1,	fecha	2003-1,	fecha	2004-1,	fecha	2005-1,	fecha	2006-1,	fecha	2007-1,	fecha	2008-1,	fecha	2009-1,	fecha	2010-1,
indicativo	8309X,	indicativo	8309X,	indicativo	8309X,	indicativo	8309X,	indicativo	8309X,	indicativo	8309X,	indicativo	8309X,	indicativo	8309X,	indicativo	8309X,	indicativo	8309X,
p_max	17.4(12),	p_max	4.1(01),	tm_min	0.4,	p_max	0.5(26),	p_max	0.0(--),	p_max	9.4(07),	p_max	4.3(26),	p_max	8.3(02),	w_rec	382.0,	w_med	16.0
nw_55	9.0,	nw_55	3.0,	ta_max	18.8(27),	nw_55	4.0,	nw_55	6.0,	nw_55	3.0,	hr	64.0,	hr	62.0,	w_med	17.0	{	
tm_min	1.6,	tm_min	0.1,	ts_min	8.2,	tm_min	0.7,	tm_min	-4.9,	tm_min	-1.0,	nw_55	0.0,	nw_55	4.0,	{			
ta_max	14.2(05),	ta_max	20.4(29),	nt_30	0.0,	ta_max	18.1(13),	ta_max	17.0(21),	ta_max	16.1(19),	tm_min	-2.1,	tm_min	-0.2,				
ts_min	7.7,	ts_min	5.8,	ta_min	-9.8(14),	ts_min	9.3,	ts_min	5.0,	ts_min	4.7,	ta_max	21.4(20),	ta_max	19.6(21),				
nt_30	0.0,	nt_30	0.0,	w_med	12.0,	nt_30	0.0,	nt_30	0.0,	nt_30	0.0,	ts_min	3.8,	ts_min	5.1,				
w_racha	28/20.0(28),	w_racha	02/19.4(16),	nt_00	12.0,	w_racha	04/24.7(03),	w_racha	02/21.4(25),	w_racha	04/19.2(02),	nt_30	0.0,	nt_30	0.0,				
np_100	1.0,	np_100	0.0,	ti_max	2.6,	np_100	0.0,	np_100	0.0,	np_100	0.0,	w_racha	09/14.7(26),	w_racha	26/20.8(16),				
nw_91	0.0,	nw_91	0.0,	tm_mes	5.4,	nw_91	0.0,	nw_91	0.0,	nw_91	0.0,	np_100	0.0,	np_100	0.0,				
np_001	17.0,	np_001	10.0,	tm_max	10.5	np_001	3.0,	np_001	0.0,	np_001	9.0,	nw_91	0.0,	nw_91	0.0,				
ta_min	-4.5(21),	ta_min	-4.6(19),	{		ta_min	-6.4(29),	ta_min	-10.6(11),	ta_min	-17.4(29),	np_001	5.0,	np_001	7.0,				
w_rec	257.0,	w_rec	153.0,			w_rec	250.0,	w_rec	202.0,	w_rec	138.0,	ta_min	-5.5(11),	ta_min	-6.4(01),				
np_300	0.0,	np_300	0.0,			np_300	0.0,	np_300	0.0,	np_300	0.0,	w_rec	132.0,	w_rec	155.0,				
p_mes	42.3,	p_mes	16.6,			p_mes	0.9,	p_mes	0.0,	p_mes	33.0,	e	56.0,	e	62.0,				
w_med	12.0,	w_med	7.0,			w_med	10.0,	w_med	7.0,	w_med	6.0,	np_300	0.0,	np_300	0.0,				
nt_00	9.0,	nt_00	15.0,			nt_00	14.0,	nt_00	30.0,	nt_00	16.0,	p_mes	11.4,	p_mes	20.9,				
ti_max	7.0,	ti_max	6.1,			ti_max	7.0,	ti_max	-0.7,	ti_max	0.7,	w_med	7.0,	w_med	7.0,				
tm_mes	6.0,	tm_mes	5.7,			tm_mes	7.0,	tm_mes	3.0,	tm_mes	3.9,	nt_00	25.0,	nt_00	17.0,				
tm_max	10.4,	tm_max	11.2,			tm_max	13.2,	tm_max	10.8,	tm_max	8.8,	ti_max	2.7,	ti_max	6.6,				
np_010	8.0	np_010	5.0			np_010	0.0	np_010	0.0	np_010	7.0	tm_mes	5.4,	tm_mes	6.8,				
{		{				{		{		{		tm_max	12.8,	tm_max	13.7,				
												np_010	3.0	np_010	3.0				
												{		{					

fecha	2011-1,	fecha	2012-1,	fecha	2013-1,	fecha	2014-1,	fecha	2015-1,	fecha	2016-1,	fecha	2017-1,	fecha	2018-1,	fecha	2019-1,	fecha	2020-1,
indicativo	8309X,	indicativo	8309X,	indicativo	8309X,	indicativo	8309X,	indicativo	8309X,	indicativo	8309X,	indicativo	8309X,	indicativo	8309X,	indicativo	8309X,	indicativo	8309X,
p_max	4.8(28),	p_max	20.2(16),	p_max	6.0(22),	p_max	4.8(18),	p_max	41.1(30),	p_max	2.0(01),	q_max	941.5(07),	p_max	8.4(06),	p_max	1.0(19),	p_max	34.6(21),
q_max	940.7(17),	hr	66.0,	hr	69.0,	hr	73.0,	hr	61.0,	hr	70.0,	q_mar	1022.8,	hr	66.0,	hr	56.0,	hr	72.0,
nw_55	6.0,	q_max	948.2(19),	inso	6.7,	inso	4.4,	inso	7.4,	inso	5.5,	q_med	932.5,	q_max	947.6(29),	q_max	943.8(05),	inso	5.7,
q_mar	1019.5,	nw_55	5.0,	q_max	949.6(03),	q_max	937.4(23),	q_max	953.3(09),	q_max	946.5(23),	e	59.0,	nw_55	6.0,	nw_55	11.0,	q_max	944.3(04),
q_med	930.2,	q_mar	1026.1,	nw_55	16.0,	nw_55	13.0,	nw_55	10.0,	nw_55	9.0,	w_med	13.0,	q_mar	1023.1,	q_mar	1020.3,	nw_55	1.0,
tm_min	0.2,	q_med	936.3,	q_mar	1019.8,	q_mar	1015.9,	q_mar	1024.0,	q_mar	1022.6,	q_min	921.3(27)	q_med	933.7,	q_med	930.7,	q_mar	1026.6,
ta_max	19.4(14),	tm_min	-0.8,	q_med	930.5,	q_med	927.0,	q_med	933.9,	q_med	933.4,	{		tm_min	1.7,	tm_min	-0.9,	q_med	936.4,
ts_min	5.8,	ta_max	19.8(05),	tm_min	-0.1,	tm_min	2.4,	tm_min	-1.4,	tm_min	2.3,			ta_max	20.9(22),	ta_max	18.1(26),	tm_min	0.2,
nt_30	0.0,	ts_min	5.6,	ta_max	20.7(31),	ta_max	18.7(09),	ta_max	18.6(09),	ta_max	19.4(24),			ts_min	9.1,	ts_min	6.1,	ta_max	16.9(06),
w_racha	32/19.7(05),	nt_30	0.0,	ts_min	7.6,	ts_min	9.3,	ts_min	9.3,	ts_min	9.5,			nt_30	0.0,	nt_30	0.0,	ts_min	9.4,
np_100	0.0,	w_racha	34/21.9(06),	nt_30	0.0,	nt_30	0.0,	nt_30	0.0,	nt_30	0.0,			w_racha	35/19.7(27),	w_racha	35/21.7(25),	nt_30	0.0,
nw_91	0.0,	np_100	1.0,	w_racha	32/22.5(24),	w_racha	08/24.4(23),	w_racha	26/25.3(30),	w_racha	26/24.4(04),			np_100	0.0,	np_100	0.0,	w_racha	04/19.4(20),
np_001	7.0,	nw_91	0.0,	np_100	0.0,	np_100	0.0,	np_100	1.0,	np_100	0.0,			nw_91	0.0,	nw_91	0.0,	np_100	3.0,
ta_min	-8.5(24),	np_001	2.0,	p_sol	68.0,	p_sol	45.0,	p_sol	76.0,	p_sol	57.0,			np_001	7.0,	np_001	3.0,	p_sol	59.0,
w_rec	258.0,	ta_min	-5.5(15),	nw_91	0.0,	nw_91	0.0,	nw_91	1.0,	nw_91	0.0,			ta_min	-4.0(09),	ta_min	-5.4(05),	nw_91	0.0,
np_300	0.0,	w_rec	266.0,	np_001	8.0,	np_001	10.0,	np_001	6.0,	np_001	10.0,			w_rec	326.0,	w_rec	389.0,	np_001	6.0,
p_mes	12.2,	e	64.0,	ta_min	-6.3(06),	ta_min	-1.2(30),	ta_min	-7.3(18),	ta_min	-3.2(17),			e	68.0,	e	53.0,	ta_min	-6.0(13),
w_med	11.0,	np_300	0.0,	w_rec	443.0,	w_rec	392.0,	w_rec	364.0,	w_rec	391.0,			np_300	0.0,	np_300	0.0,	w_rec	255.0,
nt_00	16.0,	p_mes	22.6,	e	66.0,	e	75.0,	e	55.0,	e	78.0,			p_mes	25.4,	p_mes	2.6,	e	69.0,
ti_max	4.5,	w_med	12.0,	np_300	0.0,	np_300	0.0,	np_300	1.0,	np_300	0.0,			w_med	14.0,	w_med	16.0,	np_300	2.0,
tm_mes	5.9,	nt_00	19.0,	p_mes	17.2,	p_mes	14.8,	p_mes	44.5,	p_mes	9.0,			nt_00	9.0,	nt_00	21.0,	p_mes	112.0,
tm_max	11.7,	ti_max	5.4,	w_med	19.0,	w_med	17.0,	w_med	15.0,	w_med	17.0,			ti_max	6.2,	ti_max	7.7,	w_med	11.0,
q_min	912.7(27),	tm_mes	6.5,	nt_00	16.0,	nt_00	6.0,	nt_00	21.0,	nt_00	9.0,			tm_mes	7.2,	tm_mes	6.1,	nt_00	16.0,
np_010	3.0	tm_max	13.6,	ti_max	5.4,	ti_max	8.3,	ti_max	6.4,	ti_max	8.4,			tm_max	12.7,	tm_max	12.9,	ti_max	5.0,
{		q_min	921.6(16),	tm_mes	6.2,	tm_mes	7.3,	tm_mes	5.9,	tm_mes	7.8,			q_min	907.8(06),	q_min	912.7(31),	tm_mes	6.2,
		np_010	2.0	tm_max	12.4,	tm_max	12.1,	tm_max	13.2,	tm_max	13.3,			np_010	5.0	np_010	1.0	tm_max	12.1,
		{		q_min	897.0(19),	q_min	907.4(19),	q_min	904.3(31),	q_min	915.9(04),			{		{		q_min	926.1(21),
				np_010	5.0	np_010	6.0	np_010	2.0	np_010	4.0							np_010	6.0
				{		{		{		{								{	

fecha	2000-2,
indicativo	8309X,
p_max	0.0(--),
nw_55	0.0,
tm_min	-0.9,
ta_max	21.9(18),
ts_min	5.8,
nt_30	0.0,
w_racha	31/14.7(17),
np_100	0.0,
nw_91	0.0,
np_001	0.0,
ta_min	-6.6(13),
w_rec	184.0,
np_300	0.0,
p_mes	0.0,
w_med	9.0,
nt_00	16.0,
ti_max	14.1,
tm_mes	8.7,
tm_max	18.3,
np_010	0.0
{	

fecha	2001-2,
indicativo	8309X,
p_max	4.1(08),
nw_55	2.0,
tm_min	-0.2,
ta_max	20.5(13),
ts_min	6.2,
nt_30	0.0,
w_racha	26/17.2(07),
np_100	0.0,
nw_91	0.0,
np_001	7.0,
ta_min	-4.8(21),
w_rec	208.0,
np_300	0.0,
p_mes	11.4,
w_med	10.0,
nt_00	16.0,
ti_max	6.5,
tm_mes	6.5,
tm_max	13.2,
np_010	4.0
{	

fecha	2002-2,
indicativo	8309X,
p_max	1.1(05),
nw_55	4.0,
tm_min	-0.7,
ta_max	20.7(26),
ts_min	3.7,
nt_30	0.0,
w_racha	27/18.6(05),
np_100	0.0,
nw_91	0.0,
np_001	1.0,
ta_min	-6.8(20),
w_rec	204.0,
np_300	0.0,
p_mes	1.1,
w_med	9.0,
nt_00	14.0,
ti_max	7.0,
tm_mes	7.4,
tm_max	15.5,
np_010	1.0
{	

fecha	2003-2,
indicativo	8309X,
p_max	17.7(25),
np_100	1.0,
np_001	11.0,
np_300	0.0,
p_mes	36.3,
np_010	5.0
{	

fecha	2004-2,
indicativo	8309X,
p_max	20.8(24),
nw_55	1.0,
tm_min	-1.8,
ta_max	21.5(06),
ts_min	4.1,
nt_30	0.0,
w_racha	27/15.6(27),
np_100	1.0,
nw_91	0.0,
np_001	8.0,
ta_min	-7.5(18),
w_rec	155.0,
np_300	0.0,
p_mes	36.1,
w_med	8.0,
nt_00	24.0,
ti_max	4.8,
tm_mes	6.0,
tm_max	13.8,
np_010	5.0
{	

fecha	2005-2,
indicativo	8309X,
p_max	14.8(07),
nw_55	5.0,
tm_min	-2.7,
ta_max	18.8(12),
ts_min	1.6,
nt_30	0.0,
w_racha	27/23.6(22),
np_100	1.0,
nw_91	0.0,
np_001	8.0,
ta_min	-8.0(18),
w_rec	221.0,
np_300	0.0,
p_mes	34.2,
w_med	9.0,
nt_00	25.0,
ti_max	2.7,
tm_mes	3.2,
tm_max	9.0,
np_010	4.0
{	

fecha	2006-2,
indicativo	8309X,
p_max	6.6(26),
nw_55	2.0,
tm_min	-1.4,
ta_max	18.8(14),
ts_min	4.8,
nt_30	0.0,
w_racha	29/22.2(19),
np_100	0.0,
nw_91	0.0,
np_001	8.0,
ta_min	-5.5(08),
w_rec	174.0,
np_300	0.0,
p_mes	17.3,
w_med	8.0,
nt_00	20.0,
ti_max	5.7,
tm_mes	5.6,
tm_max	12.5,
np_010	4.0
{	

fecha	2007-2,
indicativo	8309X,
p_max	14.3(08),
hr	61.0,
nw_55	4.0,
tm_min	2.8,
ta_max	21.3(28),
ts_min	8.7,
nt_30	0.0,
w_racha	29/18.9(10),
np_100	1.0,
nw_91	0.0,
np_001	9.0,
ta_min	-2.1(01),
w_rec	201.0,
e	68.0,
np_300	0.0,
p_mes	21.0,
w_med	9.0,
nt_00	7.0,
ti_max	10.1,
tm_mes	8.7,
tm_max	14.6,
np_010	2.0
{	

fecha	2008-2,
indicativo	8309X,
p_max	10.1(24),
hr	65.0,
nw_55	0.0,
tm_min	0.7,
ta_max	19.8(27),
ts_min	7.5,
nt_30	0.0,
w_racha	26/14.7(04),
np_100	1.0,
nw_91	0.0,
np_001	10.0,
ta_min	-6.3(10),
w_rec	163.0,
e	67.0,
np_300	0.0,
p_mes	30.3,
w_med	8.0,
nt_00	12.0,
ti_max	6.8,
tm_mes	7.1,
tm_max	13.4,
np_010	4.0
{	

fecha	2009-2,
indicativo	8309X,
w_rec	340.0
{	

fecha	2010-2,
indicativo	8309X,
q_max	936.2(02),
nw_55	14.0,
q_mar	1012.5,
q_med	920.4,
tm_min	0.7,
ta_max	17.1(27),
ts_min	7.6,
nt_30	0.0,
w_racha	32/25.0(23),
nw_91	0.0,
ta_min	-5.7(12),
w_rec	397.0,
w_med	17.0,
nt_00	11.0,
ti_max	1.7,
tm_mes	5.5,
tm_max	10.2,
q_min	905.3(17)
{	

fecha	2011-2,	fecha	2012-2,	fecha	2013-2,	fecha	2014-2,	fecha	2015-2,	fecha	2016-2,	fecha	2017-2,	fecha	2018-2,	fecha	2019-2,	fecha	2020-2,
indicativo	8309X,	indicativo	8309X,	indicativo	8309X,	indicativo	8309X,	indicativo	8309X,	indicativo	8309X,	indicativo	8309X,	indicativo	8309X,	indicativo	8309X,	indicativo	8309X,
p_max	5.4(15),	p_max	0.0(--),	p_max	4.6(22),	p_max	25.8(09),	p_max	3.8(23),	p_max	8.6(26),	p_max	8.2(23),	p_max	23.0(27),	p_max	2.2(01),	p_max	0.0(--),
hr	57.0,	hr	45.0,	hr	61.0,	hr	72.0,	hr	65.0,	hr	62.0,	hr	66.0,	hr	60.0,	hr	51.0,	hr	61.0,
q_max	944.8(04),	q_max	940.2(23),	inso	6.4,	inso	5.0,	inso	4.8,	inso	6.2,	inso	6.3,	q_max	936.9(15),	inso	9.3,	inso	8.6,
nw_55	12.0,	nw_55	12.0,	q_max	940.8(01),	q_max	939.3(27),	q_max	943.0(18),	q_max	946.9(04),	q_max	943.9(15),	nw_55	8.0,	q_max	944.9(14),	q_max	945.9(23),
q_mar	1020.2,	q_mar	1023.3,	nw_55	15.0,	nw_55	12.0,	nw_55	12.0,	nw_55	15.0,	nw_55	7.0,	q_mar	1014.1,	nw_55	4.0,	nw_55	1.0,
q_med	931.2,	q_med	932.9,	q_mar	1017.3,	q_mar	1016.6,	q_mar	1018.5,	q_mar	1019.1,	q_mar	1020.0,	q_med	924.9,	q_mar	1025.5,	q_mar	1026.1,
tm_min	0.6,	tm_min	-2.8,	q_med	928.0,	q_med	927.5,	q_med	928.9,	q_med	930.0,	q_med	931.1,	tm_min	-0.1,	q_med	936.0,	q_med	937.4,
ta_max	23.8(26),	ta_max	22.9(26),	tm_min	1.0,	tm_min	1.6,	tm_min	1.1,	tm_min	2.2,	tm_min	2.5,	ta_max	19.3(15),	tm_min	-1.0,	tm_min	2.4,
ts_min	8.2,	ts_min	4.0,	ta_max	18.7(15),	ta_max	18.1(06),	ta_max	18.9(26),	ta_max	19.8(01),	ta_max	18.3(26),	ts_min	5.4,	ta_max	23.6(28),	ta_max	23.3(04),
nt_30	0.0,	nt_30	0.0,	ts_min	6.5,	ts_min	9.7,	ts_min	9.0,	ts_min	12.2,	ts_min	8.9,	nt_30	0.0,	ts_min	4.1,	ts_min	8.5,
w_racha	35/23.6(28),	w_racha	36/30.3(04),	nt_30	0.0,	nt_30	0.0,	nt_30	0.0,	nt_30	0.0,	nt_30	0.0,	w_racha	36/20.8(21),	nt_30	0.0,	nt_30	0.0,
np_100	0.0,	np_100	0.0,	w_racha	34/32.5(03),	w_racha	29/28.3(05),	w_racha	36/26.7(05),	w_racha	27/25.8(13),	w_racha	32/28.1(05),	np_100	1.0,	w_racha	32/23.1(02),	w_racha	26/15.8(29),
nw_91	0.0,	nw_91	3.0,	np_100	0.0,	np_100	1.0,	np_100	0.0,	np_100	0.0,	np_100	0.0,	nw_91	0.0,	np_100	0.0,	np_100	0.0,
np_001	4.0,	np_001	0.0,	p_sol	60.0,	p_sol	47.0,	p_sol	45.0,	p_sol	58.0,	p_sol	59.0,	np_001	6.0,	p_sol	87.0,	p_sol	80.0,
ta_min	-4.5(09),	ta_min	-6.5(09),	nw_91	1.0,	nw_91	3.0,	nw_91	1.0,	nw_91	2.0,	nw_91	1.0,	ta_min	-5.8(25),	nw_91	0.0,	nw_91	0.0,
w_rec	365.0,	w_rec	452.0,	np_001	9.0,	np_001	10.0,	np_001	7.0,	np_001	8.0,	np_001	7.0,	w_rec	370.0,	np_001	1.0,	np_001	0.0,
e	58.0,	e	39.0,	ta_min	-5.5(26),	ta_min	-6.5(03),	ta_min	-4.5(08),	ta_min	-6.6(17),	ta_min	-1.9(09),	e	54.0,	ta_min	-3.5(13),	ta_min	-0.9(22),
np_300	0.0,	np_300	0.0,	w_rec	505.0,	w_rec	450.0,	w_rec	445.0,	w_rec	522.0,	w_rec	386.0,	np_300	0.0,	w_rec	296.0,	w_rec	239.0,
p_mes	11.0,	p_mes	0.0,	e	60.0,	e	73.0,	e	61.0,	e	66.0,	e	73.0,	p_mes	42.2,	e	51.0,	e	76.0,
w_med	16.0,	w_med	18.0,	np_300	0.0,	np_300	0.0,	np_300	0.0,	np_300	0.0,	np_300	0.0,	w_med	16.0,	np_300	0.0,	np_300	0.0,
nt_00	14.0,	nt_00	27.0,	p_mes	16.2,	p_mes	36.4,	p_mes	13.4,	p_mes	24.6,	p_mes	16.6,	nt_00	15.0,	p_mes	2.2,	p_mes	0.0,
ti_max	7.2,	ti_max	3.9,	w_med	22.0,	w_med	19.0,	w_med	19.0,	w_med	23.0,	w_med	17.0,	ti_max	3.6,	w_med	14.0,	w_med	11.0,
tm_mes	8.0,	tm_mes	4.7,	nt_00	10.0,	nt_00	10.0,	nt_00	11.0,	nt_00	9.0,	nt_00	6.0,	tm_mes	5.5,	nt_00	23.0,	nt_00	4.0,
tm_max	15.3,	tm_max	12.1,	ti_max	4.8,	ti_max	3.9,	ti_max	1.7,	ti_max	5.4,	ti_max	8.8,	tm_max	11.1,	ti_max	7.8,	ti_max	10.4,
q_min	907.6(17),	q_min	920.0(02),	tm_mes	6.5,	tm_mes	6.7,	tm_mes	5.8,	tm_mes	7.8,	tm_mes	8.2,	q_min	909.5(28),	tm_mes	7.7,	tm_mes	10.3,
np_010	4.0	np_010	0.0	tm_max	11.9,	tm_max	11.8,	tm_max	10.4,	tm_max	13.4,	tm_max	13.8,	np_010	5.0	tm_max	16.4,	tm_max	18.2,
{		{		q_min	911.6(23),	q_min	907.5(10),	q_min	908.5(04),	q_min	904.7(27),	q_min	916.4(13),	{		q_min	907.3(01),	q_min	926.1(29),
				np_010	5.0	np_010	4.0	np_010	4.0	np_010	5.0	np_010	5.0			np_010	1.0	np_010	0.0
				{		{		{		{		{				{		{	

fecha	2000-3,
indicativo	8309X,
tm_min	0.6,
ta_max	24.6(11),
ts_min	7.3,
nt_30	0.0,
ta_min	-5.6(29),
w_med	10.0,
nt_00	12.0,
ti_max	9.7,
tm_mes	9.4,
tm_max	18.2
{	

fecha	2001-3,
indicativo	8309X,
p_max	7.1(07),
nw_55	8.0,
tm_min	4.9,
ta_max	29.8(23),
ts_min	10.2,
nt_30	0.0,
w_racha	26/20.8(03),
np_100	0.0,
nw_91	0.0,
np_001	8.0,
ta_min	-3.5(01),
w_rec	295.0,
np_300	0.0,
p_mes	21.7,
w_med	15.0,
nt_00	3.0,
ti_max	6.9,
tm_mes	11.3,
tm_max	17.8,
np_010	5.0
{	

fecha	2002-3,
indicativo	8309X,
p_max	11.1(16),
nw_55	1.0,
tm_min	2.2,
ta_max	27.2(23),
ts_min	7.8,
nt_30	0.0,
w_racha	10/16.7(28),
np_100	1.0,
nw_91	0.0,
np_001	8.0,
ta_min	-4.2(02),
w_rec	227.0,
np_300	0.0,
p_mes	25.4,
w_med	10.0,
nt_00	6.0,
ti_max	5.6,
tm_mes	9.2,
tm_max	16.1,
np_010	4.0
{	

fecha	2003-3,
indicativo	8309X,
p_max	14.4(27),
nw_55	0.0,
tm_min	1.7,
ta_max	27.0(12),
ts_min	8.4,
nt_30	0.0,
w_racha	27/13.1(01),
np_100	2.0,
nw_91	0.0,
np_001	8.0,
ta_min	-7.2(19),
w_rec	180.0,
np_300	0.0,
p_mes	36.4,
w_med	9.0,
nt_00	12.0,
ti_max	7.4,
tm_mes	9.4,
tm_max	17.1,
np_010	5.0
{	

fecha	2004-3,
indicativo	8309X,
nw_55	2.0,
tm_min	1.4,
ta_max	25.3(21),
ts_min	7.8,
nt_30	0.0,
w_racha	28/25.0(16),
nw_91	0.0,
ta_min	-8.4(03),
w_rec	216.0,
w_med	9.0,
nt_00	5.0,
ti_max	4.2,
tm_mes	7.9,
tm_max	14.3
{	

fecha	2005-3,
indicativo	8309X
{	

fecha	2006-3,
indicativo	8309X,
p_max	8.4(18),
nw_55	6.0,
tm_min	3.3,
ta_max	26.5(26),
ts_min	8.3,
nt_30	0.0,
w_racha	28/27.5(05),
np_100	0.0,
nw_91	1.0,
np_001	9.0,
ta_min	-4.9(02),
w_rec	237.0,
e	52.0,
np_300	0.0,
p_mes	17.0,
w_med	10.0,
nt_00	4.0,
ti_max	6.6,
tm_mes	10.5,
tm_max	17.6,
np_010	4.0
{	

fecha	2007-3,
indicativo	8309X
{	

fecha	2008-3,
indicativo	8309X,
p_max	1.4(22),
hr	46.0,
nw_55	10.0,
tm_min	2.0,
ta_max	24.3(28),
ts_min	8.8,
nt_30	0.0,
w_racha	02/25.6(05),
np_100	0.0,
nw_91	1.0,
np_001	5.0,
ta_min	-3.1(19),
w_rec	274.0,
e	58.0,
np_300	0.0,
p_mes	4.0,
w_med	12.0,
nt_00	8.0,
ti_max	5.6,
tm_mes	9.9,
tm_max	17.8,
np_010	2.0
{	

fecha	2009-3,
indicativo	8309X
{	

fecha	2010-3,
indicativo	8309X,
p_max	12.0(02),
hr	62.0,
q_max	940.8(17),
nw_55	12.0,
q_mar	1020.3,
q_med	929.1,
tm_min	2.1,
ta_max	21.3(28),
ts_min	8.2,
nt_30	0.0,
w_racha	32/24.7(20),
np_100	2.0,
nw_91	0.0,
np_001	8.0,
ta_min	-6.0(11),
w_rec	339.0,
e	69.0,
np_300	0.0,
p_mes	42.2,
w_med	16.0,
nt_00	9.0,
ti_max	4.6,
tm_mes	8.0,
tm_max	14.0,
q_min	914.3(09),
np_010	6.0
{	

fecha	2011-3,	fecha	2012-3,	fecha	2013-3,	fecha	2014-3,	fecha	2015-3,	fecha	2016-3,	fecha	2017-3,	fecha	2018-3,	fecha	2019-3,	fecha	2020-3,
indicativo	8309X,	indicativo	8309X,	indicativo	8309X,	indicativo	8309X,	indicativo	8309X,	indicativo	8309X,	indicativo	8309X,	indicativo	8309X,	indicativo	8309X,	indicativo	8309X,
p_max	11.6(11),	p_max	18.2(20),	p_max	14.0(31),	p_max	2.8(25),	q_max	943.8(04),	p_max	5.6(19),	p_max	26.6(13),	p_max	13.2(01),	p_max	3.4(30),	hr	66.0,
hr	70.0,	hr	50.0,	hr	70.0,	hr	56.0,	q_mar	1021.0,	hr	55.0,	hr	55.0,	hr	64.0,	hr	45.0,	q_max	939.4(17),
q_max	940.0(31),	q_max	944.0(10),	inso	5.8,	inso	7.4,	q_med	933.0,	inso	7.7,	inso	8.8,	q_max	935.4(27),	inso	9.2,	nw_55	6.0,
nw_55	10.0,	nw_55	3.0,	q_max	931.8(21),	q_max	938.6(15),	tm_min	3.2,	q_max	937.1(01),	q_max	940.4(08),	nw_55	20.0,	q_max	943.2(09),	q_mar	1017.5,
q_mar	1018.6,	q_mar	1024.3,	nw_55	15.0,	nw_55	11.0,	ta_max	29.8(31),	nw_55	9.0,	nw_55	6.0,	q_mar	1008.7,	nw_55	2.0,	q_med	929.4,
q_med	930.1,	q_med	935.4,	q_mar	1008.0,	q_mar	1017.9,	ts_min	11.1,	q_mar	1015.4,	q_mar	1019.4,	q_med	920.8,	q_mar	1022.8,	tm_min	4.5,
tm_min	3.6,	tm_min	0.7,	q_med	920.5,	q_med	929.7,	nt_30	0.0,	q_med	927.2,	q_med	931.4,	tm_min	3.7,	q_med	934.5,	ta_max	27.2(12),
ta_max	24.2(31),	ta_max	24.5(13),	tm_min	4.5,	tm_min	2.1,	ta_min	-2.1(07),	tm_min	2.3,	tm_min	3.1,	ta_max	22.9(28),	tm_min	2.2,	ts_min	9.4,
ts_min	8.1,	ts_min	5.2,	ta_max	18.2(21),	ta_max	25.2(17),	e	68.0,	ta_max	26.6(30),	ta_max	28.1(10),	ts_min	8.5,	ta_max	26.3(16),	nt_30	0.0,
nt_30	0.0,	nt_30	0.0,	ts_min	9.9,	ts_min	9.5,	nt_00	8.0,	ts_min	7.1,	ts_min	9.4,	nt_30	0.0,	ts_min	5.8,	w_racha	30/27.8(02),
w_racha	01/24.7(17),	w_racha	34/20.3(05),	nt_30	0.0,	nt_30	0.0,	ti_max	8.8,	nt_30	0.0,	nt_30	0.0,	w_racha	34/23.3(21),	nt_30	0.0,	nw_91	1.0,
np_100	1.0,	np_100	1.0,	w_racha	28/24.4(30),	w_racha	27/23.6(03),	tm_mes	11.1,	w_racha	34/20.0(09),	w_racha	34/20.8(12),	np_100	2.0,	w_racha	28/19.4(06),	ta_min	0.3(28),
nw_91	0.0,	nw_91	0.0,	np_100	4.0,	np_100	0.0,	tm_max	18.8,	np_100	0.0,	np_100	3.0,	nw_91	0.0,	np_100	0.0,	w_rec	384.0,
np_001	12.0,	np_001	3.0,	p_sol	49.0,	p_sol	62.0,	q_min	918.9(21)	p_sol	64.0,	p_sol	73.0,	np_001	20.0,	p_sol	77.0,	e	79.0,
ta_min	-2.4(10),	ta_min	-2.1(02),	nw_91	0.0,	nw_91	0.0,	{		nw_91	0.0,	nw_91	0.0,	ta_min	-1.1(22),	nw_91	0.0,	w_med	15.0,
w_rec	351.0,	w_rec	299.0,	np_001	14.0,	np_001	7.0,			np_001	7.0,	np_001	4.0,	w_rec	516.0,	np_001	2.0,	nt_00	0.0,
e	77.0,	e	57.0,	ta_min	-1.5(02),	ta_min	-3.1(10),			ta_min	-3.1(16),	ta_min	-1.8(24),	e	71.0,	ta_min	-1.5(08),	ti_max	5.2,
np_300	0.0,	np_300	0.0,	w_rec	493.0,	w_rec	377.0,			w_rec	383.0,	w_rec	322.0,	np_300	0.0,	w_rec	301.0,	tm_mes	10.0,
p_mes	36.0,	p_mes	20.0,	e	83.0,	e	66.0,			e	62.0,	e	69.0,	p_mes	68.8,	e	55.0,	tm_max	15.4,
w_med	16.0,	w_med	14.0,	np_300	0.0,	np_300	0.0,			np_300	0.0,	np_300	0.0,	w_med	23.0,	np_300	0.0,	q_min	916.4(02)
nt_00	4.0,	nt_00	9.0,	p_mes	75.0,	p_mes	6.8,			p_mes	20.0,	p_mes	62.4,	nt_00	3.0,	p_mes	5.6,	{	
ti_max	5.5,	ti_max	5.2,	w_med	22.0,	w_med	17.0,			w_med	18.0,	w_med	14.0,	ti_max	7.6,	w_med	14.0,		
tm_mes	8.7,	tm_mes	9.1,	nt_00	3.0,	nt_00	9.0,			nt_00	5.0,	nt_00	4.0,	tm_mes	8.5,	nt_00	8.0,		
tm_max	13.7,	tm_max	17.4,	ti_max	7.6,	ti_max	10.9,			ti_max	5.7,	ti_max	7.4,	tm_max	13.3,	ti_max	8.6,		
q_min	913.6(12),	q_min	922.2(31),	tm_mes	9.3,	tm_mes	9.6,			tm_mes	9.1,	tm_mes	10.7,	q_min	902.4(01),	tm_mes	10.4,		
np_010	7.0	np_010	2.0	tm_max	14.0,	tm_max	16.9,			tm_max	15.8,	tm_max	18.1,	np_010	15.0	tm_max	18.5,		
{		{		q_min	909.4(06),	q_min	914.9(02),			q_min	915.9(04),	q_min	913.7(03),	{		q_min	920.2(06),		
				np_010	14.0	np_010	2.0			np_010	6.0	np_010	4.0			np_010	2.0		
				{		{				{		{				{			

fecha	2000-4,
indicativo	8309X,
p_max	12.5(15),
nw_55	6.0,
tm_min	4.0,
ta_max	24.8(25),
ts_min	10.0,
nt_30	0.0,
w_racha	23/19.2(02),
np_100	1.0,
nw_91	0.0,
np_001	12.0,
ta_min	-2.5(06),
w_rec	272.0,
np_300	0.0,
p_mes	59.0,
w_med	14.0,
nt_00	3.0,
ti_max	8.2,
tm_mes	10.0,
tm_max	16.0,
np_010	9.0
{	

fecha	2001-4,
indicativo	8309X
{	

fecha	2002-4,
indicativo	8309X
{	

fecha	2003-4,
indicativo	8309X,
p_max	10.7(14),
nw_55	3.0,
tm_min	4.7,
ta_max	29.0(28),
ts_min	9.7,
nt_30	0.0,
w_racha	02/24.2(03),
np_100	1.0,
nw_91	0.0,
np_001	6.0,
ta_min	-2.6(06),
w_rec	234.0,
np_300	0.0,
p_mes	27.1,
w_med	11.0,
nt_00	2.0,
ti_max	10.1,
tm_mes	11.9,
tm_max	19.0,
np_010	4.0
{	

fecha	2004-4,
indicativo	8309X
{	

fecha	2005-4,
indicativo	8309X,
p_max	9.9(08),
nw_55	7.0,
tm_min	3.8,
ta_max	28.1(30),
ts_min	8.2,
nt_30	0.0,
w_racha	02/20.0(11),
np_100	0.0,
nw_91	0.0,
np_001	5.0,
ta_min	-1.0(10),
w_rec	230.0,
np_300	0.0,
p_mes	31.3,
w_med	11.0,
nt_00	2.0,
ti_max	9.1,
tm_mes	11.4,
tm_max	18.9,
np_010	5.0
{	

fecha	2006-4,
indicativo	8309X,
p_max	6.7(22),
hr	40.0,
nw_55	2.0,
tm_min	5.8,
ta_max	25.5(27),
ts_min	10.7,
nt_30	0.0,
w_racha	28/16.4(15),
np_100	0.0,
nw_91	0.0,
np_001	7.0,
ta_min	0.9(08),
w_rec	195.0,
e	64.0,
np_300	0.0,
p_mes	18.2,
w_med	11.0,
nt_00	0.0,
ti_max	15.2,
tm_mes	13.8,
tm_max	21.8,
np_010	4.0
{	

fecha	2007-4,
indicativo	8309X
{	

fecha	2008-4,
indicativo	8309X,
p_max	15.3(19),
hr	51.0,
nw_55	8.0,
tm_min	5.1,
ta_max	27.6(26),
ts_min	10.8,
nt_30	0.0,
w_racha	27/25.0(18),
np_100	2.0,
nw_91	0.0,
np_001	10.0,
ta_min	-0.4(01),
w_rec	239.0,
e	75.0,
np_300	0.0,
p_mes	46.1,
w_med	13.0,
nt_00	2.0,
ti_max	10.0,
tm_mes	12.5,
tm_max	19.8,
np_010	9.0
{	

fecha	2009-4,
indicativo	8309X,
q_max	935.0(04),
q_mar	1015.5,
q_med	926.0,
e	78.0,
w_med	16.0,
q_min	915.4(11)
{	

fecha	2010-4,
indicativo	8309X,
p_max	16.4(12),
hr	64.0,
q_max	939.0(05),
nw_55	8.0,
q_mar	1018.8,
q_med	929.3,
tm_min	5.4,
ta_max	29.8(27),
ts_min	10.0,
nt_30	0.0,
w_racha	35/26.1(07),
np_100	3.0,
nw_91	1.0,
np_001	10.0,
ta_min	-0.9(02),
w_rec	262.0,
e	94.0,
np_300	0.0,
p_mes	71.2,
w_med	13.0,
nt_00	3.0,
ti_max	7.6,
tm_mes	12.3,
tm_max	19.1,
q_min	918.2(12),
np_010	8.0
{	

fecha	2011-4,
indicativo	8309X,
p_max	16.0(21),
q_max	940.7(07),
q_mar	1015.1,
q_med	928.6,
np_100	2.0,
np_001	11.0,
np_300	0.0,
p_mes	53.0,
w_med	13.0,
q_min	915.3(30),
np_010	8.0
{	

fecha	2012-4,
indicativo	8309X,
p_max	12.6(03),
hr	58.0,
inso	8.2,
q_max	929.8(16),
nw_55	13.0,
q_mar	1009.0,
q_med	922.1,
tm_min	4.9,
ta_max	26.5(26),
ts_min	10.8,
nt_30	0.0,
w_racha	01/26.7(16),
np_100	1.0,
p_sol	61.0,
nw_91	1.0,
np_001	14.0,
ta_min	0.5(17),
w_rec	456.0,
e	78.0,
np_300	0.0,
p_mes	45.6,
w_med	22.0,
nt_00	0.0,
ti_max	10.6,
tm_mes	11.3,
tm_max	17.8,
q_min	914.1(14),
np_010	10.0
{	

fecha	2013-4,
indicativo	8309X,
p_max	22.0(28),
inso	7.8,
q_max	936.8(14),
nw_55	9.0,
q_mar	1014.2,
q_med	926.8,
tm_min	4.2,
ta_max	29.0(16),
ts_min	10.3,
nt_30	0.0,
w_racha	31/21.7(01),
np_100	3.0,
p_sol	59.0,
nw_91	0.0,
np_001	9.0,
ta_min	-1.4(06),
w_rec	351.0,
e	84.0,
np_300	0.0,
p_mes	60.6,
w_med	17.0,
nt_00	3.0,
ti_max	5.0,
tm_mes	11.0,
tm_max	17.8,
q_min	912.3(01),
np_010	8.0
{	

fecha	2014-4,
indicativo	8309X,
p_max	7.8(21),
hr	50.0,
inso	9.1,
q_max	936.5(08),
nw_55	11.0,
q_mar	1013.5,
q_med	927.6,
tm_min	6.9,
ta_max	29.6(10),
ts_min	10.9,
nt_30	0.0,
w_racha	22/24.7(21),
np_100	0.0,
p_sol	69.0,
nw_91	0.0,
np_001	7.0,
ta_min	0.6(01),
w_rec	344.0,
e	85.0,
np_300	0.0,
p_mes	16.0,
w_med	16.0,
nt_00	0.0,
ti_max	13.4,
tm_mes	15.3,
tm_max	23.7,
q_min	912.8(03),
np_010	3.0
{	

fecha	2015-4,
indicativo	8309X,
p_max	5.6(15),
hr	54.0,
inso	8.5,
q_max	941.0(13),
nw_55	1.0,
q_mar	1019.2,
q_med	932.0,
tm_min	5.9,
ta_max	26.4(24),
ts_min	8.9,
nt_30	0.0,
w_racha	30/20.3(26),
np_100	0.0,
p_sol	64.0,
nw_91	0.0,
np_001	9.0,
ta_min	1.4(02),
w_rec	306.0,
e	83.0,
np_300	0.0,
p_mes	17.0,
w_med	15.0,
nt_00	0.0,
ti_max	10.8,
tm_mes	12.9,
tm_max	19.9,
q_min	919.8(26),
np_010	5.0
{	

fecha	2016-4,
indicativo	8309X,
p_max	18.2(04),
hr	55.0,
inso	7.4,
q_max	935.6(30),
nw_55	6.0,
q_mar	1013.3,
q_med	926.4,
tm_min	5.2,
ta_max	24.3(26),
ts_min	8.6,
nt_30	0.0,
w_racha	35/22.5(08),
np_100	1.0,
p_sol	56.0,
nw_91	0.0,
np_001	9.0,
ta_min	-1.9(02),
w_rec	358.0,
e	78.0,
np_300	0.0,
p_mes	29.8,
w_med	17.0,
nt_00	1.0,
ti_max	10.8,
tm_mes	12.2,
tm_max	19.0,
q_min	913.0(05),
np_010	5.0
{	

fecha	2017-4,
indicativo	8309X,
p_max	17.6(18),
hr	52.0,
inso	8.8,
q_max	940.3(21),
nw_55	4.0,
q_mar	1018.2,
q_med	931.1,
tm_min	4.9,
ta_max	27.6(13),
ts_min	9.5,
nt_30	0.0,
w_racha	35/20.6(18),
np_100	1.0,
p_sol	67.0,
nw_91	0.0,
np_001	6.0,
ta_min	0.6(22),
w_rec	284.0,
e	75.0,
np_300	0.0,
p_mes	45.0,
w_med	13.0,
nt_00	0.0,
ti_max	9.6,
tm_mes	12.6,
tm_max	20.3,
q_min	919.4(25),
np_010	6.0
{	

fecha	2018-4,
indicativo	8309X,
p_max	18.4(10),
hr	57.0,
q_max	938.1(18),
nw_55	7.0,
q_mar	1013.6,
q_med	926.4,
tm_min	5.7,
ta_max	26.3(27),
ts_min	10.8,
nt_30	0.0,
w_racha	29/21.9(11),
np_100	2.0,
nw_91	0.0,
np_001	11.0,
ta_min	0.0(01),
w_rec	361.0,
e	78.0,
np_300	0.0,
p_mes	47.4,
w_med	18.0,
nt_00	1.0,
ti_max	6.7,
tm_mes	11.9,
tm_max	18.0,
q_min	907.5(11),
np_010	7.0
{	

fecha	2019-4,
indicativo	8309X,
hr	61.0,
inso	6.8,
q_max	938.9(27),
nw_55	8.0,
q_mar	1012.8,
q_med	925.6,
tm_min	5.2,
ta_max	24.5(14),
ts_min	8.5,
nt_30	0.0,
w_racha	28/24.7(06),
p_sol	51.0,
nw_91	0.0,
ta_min	1.1(13),
w_rec	349.0,
e	82.0,
w_med	16.0,
nt_00	0.0,
ti_max	10.1,
tm_mes	11.0,
tm_max	16.7,
q_min	912.1(05)
{	

fecha	2020-4,
indicativo	8309X,
p_max	17.6(21),
hr	67.0,
inso	6.5,
q_max	938.5(07),
nw_55	1.0,
q_mar	1015.5,
q_med	928.4,
tm_min	7.5,
ta_max	22.2(26),
ts_min	10.9,
nt_30	0.0,
w_racha	28/15.3(29),
np_100	2.0,
p_sol	49.0,
nw_91	0.0,
np_001	14.0,
ta_min	2.0(04),
w_rec	267.0,
e	99.0,
np_300	0.0,
p_mes	61.0,
w_med	13.0,
nt_00	0.0,
ti_max	10.5,
tm_mes	12.8,
tm_max	18.1,
q_min	919.2(21),
np_010	7.0
{	

fecha	2000-5,
indicativo	8309X,
p_max	15.3(10),
nw_55	1.0,
tm_min	8.9,
ta_max	33.6(31),
ts_min	14.5,
nt_30	3.0,
w_racha	27/15.8(09),
np_100	2.0,
nw_91	0.0,
np_001	10.0,
ta_min	3.0(06),
w_rec	168.0,
np_300	0.0,
p_mes	45.0,
w_med	8.0,
nt_00	0.0,
ti_max	16.0,
tm_mes	16.5,
tm_max	24.2,
np_010	7.0
{	

fecha	2001-5,
indicativo	8309X
{	

fecha	2002-5,
indicativo	8309X,
p_max	26.4(07),
nw_55	1.0,
tm_min	6.9,
ta_max	27.6(21),
ts_min	11.3,
nt_30	0.0,
w_racha	33/15.3(02),
np_100	2.0,
nw_91	0.0,
np_001	10.0,
ta_min	0.8(05),
w_rec	191.0,
np_300	0.0,
p_mes	55.9,
w_med	9.0,
nt_00	0.0,
ti_max	8.0,
tm_mes	14.1,
tm_max	21.2,
np_010	8.0
{	

fecha	2003-5,
indicativo	8309X,
p_max	28.8(06),
nw_55	1.0,
tm_min	8.9,
ta_max	33.0(31),
ts_min	13.0,
nt_30	5.0,
w_racha	02/18.1(16),
np_100	3.0,
nw_91	0.0,
np_001	4.0,
ta_min	4.4(09),
w_rec	185.0,
np_300	0.0,
p_mes	61.7,
w_med	9.0,
nt_00	0.0,
ti_max	12.1,
tm_mes	16.8,
tm_max	24.8,
np_010	4.0
{	

fecha	2004-5,
indicativo	8309X,
w_med	8.0
{	

fecha	2005-5,
indicativo	8309X,
p_max	12.6(02),
nw_55	2.0,
tm_min	7.9,
ta_max	32.3(29),
ts_min	13.1,
nt_30	7.0,
w_racha	27/20.8(09),
np_100	1.0,
nw_91	0.0,
np_001	4.0,
ta_min	3.6(15),
w_rec	181.0,
np_300	0.0,
p_mes	19.9,
w_med	9.0,
nt_00	0.0,
ti_max	16.8,
tm_mes	17.4,
tm_max	26.8,
np_010	3.0
{	

fecha	2006-5,
indicativo	8309X,
p_max	13.6(23),
nw_55	0.0,
tm_min	9.9,
ta_max	36.8(17),
ts_min	14.3,
nt_30	6.0,
w_racha	10/14.4(03),
np_100	1.0,
nw_91	0.0,
np_001	8.0,
ta_min	4.5(23),
w_rec	171.0,
e	81.0,
np_300	0.0,
p_mes	29.5,
w_med	9.0,
nt_00	0.0,
ti_max	15.1,
tm_mes	17.9,
tm_max	25.7,
np_010	5.0
{	

fecha	2007-5,
indicativo	8309X,
p_max	4.1(23),
hr	45.0,
nw_55	1.0,
tm_min	8.6,
ta_max	32.5(18),
ts_min	14.1,
nt_30	2.0,
w_racha	24/15.6(31),
np_100	0.0,
nw_91	0.0,
np_001	6.0,
ta_min	3.2(29),
w_rec	210.0,
e	92.0,
np_300	0.0,
p_mes	6.3,
w_med	8.0,
nt_00	0.0,
ti_max	13.3,
tm_mes	16.6,
tm_max	24.5,
np_010	2.0
{	

fecha	2008-5,
indicativo	8309X,
p_max	14.7(08),
hr	55.0,
nw_55	0.0,
tm_min	8.1,
ta_max	30.1(04),
ts_min	11.9,
nt_30	1.0,
w_racha	26/13.9(13),
np_100	3.0,
nw_91	0.0,
np_001	16.0,
ta_min	2.3(01),
w_rec	162.0,
e	93.0,
np_300	0.0,
p_mes	68.0,
w_med	8.0,
nt_00	0.0,
ti_max	10.5,
tm_mes	14.6,
tm_max	21.1,
np_010	10.0
{	

fecha	2009-5,
indicativo	8309X
{	

fecha	2010-5,
indicativo	8309X,
p_max	15.8(28),
hr	52.0,
q_max	939.2(17),
nw_55	11.0,
q_mar	1015.4,
q_med	927.3,
tm_min	7.6,
ta_max	31.9(31),
ts_min	16.3,
nt_30	1.0,
w_racha	33/26.4(04),
np_100	2.0,
nw_91	1.0,
np_001	9.0,
ta_min	2.0(06),
w_rec	347.0,
e	95.0,
np_300	0.0,
p_mes	58.4,
w_med	16.0,
nt_00	0.0,
ti_max	9.8,
tm_mes	14.9,
tm_max	22.2,
q_min	917.0(04),
np_010	7.0
{	

fecha	2011-5,
indicativo	8309X,
p_max	34.0(30),
q_max	939.5(16),
q_mar	1016.1,
q_med	931.1,
tm_min	9.8,
ta_max	31.4(26),
ts_min	15.2,
nt_30	2.0,
np_100	4.0,
np_001	12.0,
ta_min	6.5(04),
e	122.0,
np_300	1.0,
p_mes	93.4,
w_med	11.0,
nt_00	0.0,
ti_max	16.2,
tm_mes	16.8,
tm_max	23.7,
q_min	913.4(02),
np_010	8.0
{	

fecha	2012-5,
indicativo	8309X,
p_max	2.8(05),
hr	44.0,
inso	10.6,
q_max	940.0(11),
nw_55	7.0,
q_mar	1014.4,
q_med	929.5,
tm_min	9.4,
ta_max	34.8(12),
ts_min	14.6,
nt_30	14.0,
w_racha	28/19.7(04),
np_100	0.0,
p_sol	74.0,
nw_91	0.0,
np_001	2.0,
ta_min	0.4(01),
w_rec	316.0,
e	97.0,
np_300	0.0,
p_mes	4.0,
w_med	15.0,
nt_00	0.0,
ti_max	15.0,
tm_mes	18.2,
tm_max	26.9,
q_min	919.3(20),
np_010	2.0
{	

fecha	2013-5,
indicativo	8309X
{	

fecha	2014-5,
indicativo	8309X,
p_max	7.8(24),
hr	45.0,
inso	9.5,
q_max	939.4(14),
nw_55	8.0,
q_mar	1014.7,
q_med	929.1,
tm_min	8.4,
ta_max	31.2(10),
ts_min	13.4,
nt_30	3.0,
w_racha	34/19.7(02),
np_100	0.0,
p_sol	67.0,
nw_91	0.0,
np_001	5.0,
ta_min	5.0(15),
w_rec	295.0,
e	90.0,
np_300	0.0,
p_mes	20.0,
w_med	14.0,
nt_00	0.0,
ti_max	19.5,
tm_mes	16.6,
tm_max	24.7,
q_min	918.9(19),
np_010	5.0
{	

fecha	2015-5,
indicativo	8309X,
p_max	17.2(19),
hr	38.0,
inso	10.9,
q_max	938.7(09),
nw_55	3.0,
q_mar	1016.1,
q_med	931.1,
tm_min	9.2,
ta_max	38.0(13),
ts_min	13.9,
nt_30	7.0,
w_racha	36/21.4(15),
np_100	1.0,
p_sol	76.0,
nw_91	0.0,
np_001	3.0,
ta_min	6.0(17),
w_rec	293.0,
e	86.0,
np_300	0.0,
p_mes	21.8,
w_med	14.0,
nt_00	0.0,
ti_max	21.5,
tm_mes	18.5,
tm_max	27.8,
q_min	921.2(04),
np_010	2.0
{	

fecha	2016-5,
indicativo	8309X,
p_max	16.2(08),
hr	49.0,
inso	9.2,
q_max	936.2(23),
nw_55	6.0,
q_mar	1013.6,
q_med	927.9,
tm_min	8.2,
ta_max	29.5(27),
ts_min	11.8,
nt_30	0.0,
w_racha	28/22.8(28),
np_100	3.0,
p_sol	64.0,
nw_91	0.0,
np_001	10.0,
ta_min	2.0(02),
w_rec	315.0,
e	92.0,
np_300	0.0,
p_mes	53.0,
w_med	15.0,
nt_00	0.0,
ti_max	15.0,
tm_mes	15.8,
tm_max	23.4,
q_min	917.0(08),
np_010	6.0
{	

fecha	2017-5,
indicativo	8309X,
p_max	6.6(10),
hr	47.0,
inso	10.6,
q_max	941.2(15),
nw_55	2.0,
q_mar	1015.4,
q_med	930.1,
tm_min	9.2,
ta_max	32.2(25),
ts_min	13.0,
nt_30	3.0,
w_racha	29/16.4(18),
np_100	0.0,
p_sol	74.0,
nw_91	0.0,
np_001	6.0,
ta_min	3.3(01),
w_rec	271.0,
e	99.0,
np_300	0.0,
p_mes	15.6,
w_med	13.0,
nt_00	0.0,
ti_max	18.6,
tm_mes	17.4,
tm_max	25.5,
q_min	915.5(11),
np_010	3.0
{	

fecha	2018-5,
indicativo	8309X,
p_max	53.0(27),
hr	55.0,
q_max	932.8(31),
nw_55	1.0,
q_mar	1013.9,
q_med	927.8,
tm_min	8.5,
ta_max	27.5(09),
ts_min	13.9,
nt_30	0.0,
w_racha	35/15.3(12),
np_100	2.0,
nw_91	0.0,
np_001	10.0,
ta_min	0.8(02),
w_rec	282.0,
e	97.0,
np_300	1.0,
p_mes	107.8,
w_med	14.0,
nt_00	0.0,
ti_max	17.6,
tm_mes	15.6,
tm_max	22.6,
q_min	921.4(09),
np_010	9.0
{	

fecha	2019-5,
indicativo	8309X,
p_max	19.2(01),
hr	43.0,
inso	10.2,
q_max	938.6(30),
nw_55	3.0,
q_mar	1013.9,
q_med	928.4,
tm_min	8.5,
ta_max	31.7(15),
ts_min	13.2,
nt_30	1.0,
w_racha	31/20.8(17),
np_100	1.0,
p_sol	71.0,
nw_91	0.0,
np_001	4.0,
ta_min	4.3(19),
w_rec	323.0,
e	86.0,
np_300	0.0,
p_mes	24.4,
w_med	15.0,
nt_00	0.0,
ti_max	17.0,
tm_mes	16.4,
tm_max	24.3,
q_min	916.8(17),
np_010	3.0
{	

fecha	2020-5,
indicativo	8309X,
p_max	17.6(12),
hr	51.0,
inso	9.6,
q_max	941.2(24),
nw_55	1.0,
q_mar	1015.8,
q_med	930.6,
tm_min	10.4,
ta_max	32.7(23),
ts_min	13.8,
nt_30	5.0,
w_racha	26/15.6(10),
np_100	1.0,
p_sol	67.0,
nw_91	0.0,
np_001	9.0,
ta_min	6.1(15),
w_rec	264.0,
e	107.0,
np_300	0.0,
p_mes	32.0,
w_med	13.0,
nt_00	0.0,
ti_max	13.5,
tm_mes	17.8,
tm_max	25.1,
q_min	917.4(14),
np_010	6.0
{	

fecha	2000-6,
indicativo	8309X,
p_max	2.3(09),
nw_55	1.0,
tm_min	10.1,
ta_max	35.6(30),
ts_min	15.1,
nt_30	13.0,
w_racha	33/16.4(10),
np_100	0.0,
nw_91	0.0,
np_001	2.0,
ta_min	6.7(07),
w_rec	199.0,
np_300	0.0,
p_mes	2.4,
w_med	10.0,
nt_00	0.0,
ti_max	17.0,
tm_mes	19.9,
tm_max	29.5,
np_010	1.0
{	

fecha	2001-6,
indicativo	8309X,
p_max	0.7(10),
nw_55	0.0,
tm_min	10.2,
ta_max	38.1(23),
ts_min	14.5,
nt_30	20.0,
w_racha	27/13.9(02),
np_100	0.0,
nw_91	0.0,
np_001	3.0,
ta_min	5.1(20),
w_rec	163.0,
np_300	0.0,
p_mes	1.3,
w_med	8.0,
nt_00	0.0,
ti_max	22.4,
tm_mes	21.2,
tm_max	32.1,
np_010	0.0
{	

fecha	2002-6,
indicativo	8309X,
p_max	37.8(30),
nw_55	1.0,
tm_min	10.5,
ta_max	36.5(23),
ts_min	15.0,
nt_30	17.0,
w_racha	26/17.2(04),
np_100	1.0,
nw_91	0.0,
np_001	5.0,
ta_min	5.6(07),
w_rec	191.0,
np_300	1.0,
p_mes	46.0,
w_med	10.0,
nt_00	0.0,
ti_max	18.7,
tm_mes	20.0,
tm_max	29.5,
np_010	3.0
{	

fecha	2003-6,
indicativo	8309X,
p_max	5.5(05),
nw_55	0.0,
tm_min	13.7,
ta_max	38.3(14),
ts_min	18.3,
nt_30	25.0,
w_racha	27/14.7(30),
np_100	0.0,
nw_91	0.0,
np_001	9.0,
ta_min	8.8(22),
w_rec	156.0,
np_300	0.0,
p_mes	16.3,
w_med	8.0,
nt_00	0.0,
ti_max	25.0,
tm_mes	23.4,
tm_max	33.0,
np_010	4.0
{	

fecha	2004-6,
indicativo	8309X,
w_med	8.0
{	

fecha	2005-6,
indicativo	8309X,
p_max	24.2(23),
nw_55	2.0,
tm_min	11.5,
ta_max	36.1(20),
ts_min	16.0,
nt_30	19.0,
w_racha	05/22.2(22),
np_100	2.0,
nw_91	0.0,
np_001	10.0,
ta_min	6.6(08),
w_rec	163.0,
np_300	0.0,
p_mes	54.6,
w_med	8.0,
nt_00	0.0,
ti_max	25.5,
tm_mes	21.2,
tm_max	30.9,
np_010	8.0
{	

fecha	2006-6,
indicativo	8309X,
p_max	23.2(16),
nw_55	2.0,
tm_min	12.0,
ta_max	34.8(22),
ts_min	16.5,
nt_30	14.0,
w_racha	26/20.3(09),
np_100	2.0,
nw_91	0.0,
np_001	7.0,
ta_min	6.2(02),
w_rec	130.0,
e	85.0,
np_300	0.0,
p_mes	43.0,
w_med	7.0,
nt_00	0.0,
ti_max	23.2,
tm_mes	20.7,
tm_max	29.5,
np_010	5.0
{	

fecha	2007-6,
indicativo	8309X,
p_max	3.4(05),
hr	43.0,
nw_55	0.0,
tm_min	11.1,
ta_max	34.8(30),
ts_min	16.5,
nt_30	12.0,
w_racha	25/13.9(25),
np_100	0.0,
nw_91	0.0,
np_001	6.0,
ta_min	7.8(06),
w_rec	168.0,
e	112.0,
np_300	0.0,
p_mes	5.6,
w_med	8.0,
nt_00	0.0,
ti_max	22.9,
tm_mes	20.3,
tm_max	29.4,
np_010	1.0
{	

fecha	2008-6,
indicativo	8309X,
p_max	33.8(08),
hr	48.0,
nw_55	1.0,
tm_min	11.3,
ta_max	34.8(26),
ts_min	14.9,
nt_30	12.0,
w_racha	25/20.0(24),
np_100	2.0,
nw_91	0.0,
np_001	9.0,
ta_min	5.0(01),
w_rec	162.0,
e	115.0,
np_300	1.0,
p_mes	66.4,
w_med	8.0,
nt_00	0.0,
ti_max	14.0,
tm_mes	19.2,
tm_max	26.9,
np_010	7.0
{	

fecha	2009-6,
indicativo	8309X,
w_med	14.0
{	

fecha	2010-6,
indicativo	8309X,
p_max	19.6(09),
hr	53.0,
q_max	934.8(29),
nw_55	8.0,
q_mar	1014.7,
q_med	928.1,
tm_min	11.8,
ta_max	33.1(30),
ts_min	15.7,
nt_30	13.0,
w_racha	33/20.3(09),
np_100	3.0,
nw_91	0.0,
np_001	12.0,
ta_min	6.8(16),
w_rec	241.0,
e	126.0,
np_300	0.0,
p_mes	59.0,
w_med	12.0,
nt_00	0.0,
ti_max	18.7,
tm_mes	19.4,
tm_max	27.0,
q_min	916.0(09),
np_010	8.0
{	

fecha	2011-6,
indicativo	8309X,
p_max	4.6(06),
q_max	938.1(25),
nw_55	0.0,
q_mar	1014.8,
q_med	930.6,
tm_min	12.2,
ta_max	38.4(28),
ts_min	15.4,
nt_30	16.0,
w_racha	28/14.7(08),
np_100	0.0,
nw_91	0.0,
np_001	3.0,
ta_min	7.2(04),
w_rec	241.0,
e	132.0,
np_300	0.0,
p_mes	5.6,
w_med	11.0,
nt_00	0.0,
ti_max	18.6,
tm_mes	20.5,
tm_max	28.9,
q_min	920.2(07),
np_010	1.0
{	

fecha	2012-6,
indicativo	8309X,
p_max	6.8(19),
hr	38.0,
inso	11.7,
q_max	936.9(23),
q_mar	1013.1,
q_med	929.8,
tm_min	13.0,
ta_max	39.1(27),
ts_min	17.6,
nt_30	22.0,
np_100	0.0,
p_sol	79.0,
np_001	3.0,
ta_min	7.9(12),
e	115.0,
np_300	0.0,
p_mes	13.4,
w_med	13.0,
nt_00	0.0,
ti_max	25.6,
tm_mes	22.6,
tm_max	32.1,
q_min	921.2(07),
np_010	3.0
{	

fecha	2013-6,
indicativo	8309X,
p_max	8.8(21),
hr	46.0,
inso	11.1,
q_max	938.5(29),
nw_55	6.0,
q_mar	1015.6,
q_med	931.0,
tm_min	10.7,
ta_max	34.5(13),
ts_min	14.5,
nt_30	9.0,
w_racha	23/17.2(13),
np_100	0.0,
p_sol	74.0,
nw_91	0.0,
np_001	3.0,
ta_min	7.6(04),
w_rec	259.0,
e	113.0,
np_300	0.0,
p_mes	13.0,
w_med	12.0,
nt_00	0.0,
ti_max	18.7,
tm_mes	19.4,
tm_max	28.0,
q_min	922.1(18),
np_010	2.0
{	

fecha	2014-6,
indicativo	8309X,
p_max	20.6(23),
hr	44.0,
inso	9.8,
q_max	937.5(11),
nw_55	4.0,
q_mar	1013.9,
q_med	929.8,
tm_min	12.1,
ta_max	34.8(14),
ts_min	14.7,
nt_30	15.0,
w_racha	29/17.2(24),
np_100	1.0,
p_sol	66.0,
nw_91	0.0,
np_001	9.0,
ta_min	7.5(01),
w_rec	252.0,
e	115.0,
np_300	0.0,
p_mes	32.8,
w_med	12.0,
nt_00	0.0,
ti_max	20.3,
tm_mes	20.7,
tm_max	29.3,
q_min	924.9(14),
np_010	5.0
{	

fecha	2015-6,
indicativo	8309X
{	

fecha	2016-6,
indicativo	8309X,
p_max	3.0(04),
hr	37.0,
inso	11.6,
q_max	939.5(18),
nw_55	1.0,
q_mar	1013.9,
q_med	930.1,
tm_min	12.5,
ta_max	37.0(09),
ts_min	16.4,
nt_30	19.0,
w_racha	27/16.9(15),
np_100	0.0,
p_sol	77.0,
nw_91	0.0,
np_001	3.0,
ta_min	6.8(17),
w_rec	280.0,
e	104.0,
np_300	0.0,
p_mes	5.6,
w_med	14.0,
nt_00	0.0,
ti_max	20.7,
tm_mes	21.6,
tm_max	30.7,
q_min	917.9(15),
np_010	2.0
{	

fecha	2017-6,
indicativo	8309X,
hr	39.0,
inso	11.9,
q_max	936.2(15),
nw_55	3.0,
q_mar	1013.9,
q_med	930.5,
tm_min	14.3,
ta_max	38.6(15),
ts_min	20.4,
nt_30	20.0,
w_racha	25/19.7(28),
p_sol	79.0,
nw_91	0.0,
ta_min	9.3(30),
w_rec	279.0,
e	116.0,
w_med	14.0,
nt_00	0.0,
ti_max	23.4,
tm_mes	23.0,
tm_max	31.7,
q_min	922.1(28)
{	

fecha	2018-6,
indicativo	8309X,
p_max	25.2(02),
hr	51.0,
q_max	936.2(19),
nw_55	0.0,
q_mar	1013.8,
q_med	929.2,
tm_min	12.9,
ta_max	35.1(25),
ts_min	17.1,
nt_30	13.0,
w_racha	36/14.4(12),
np_100	2.0,
nw_91	0.0,
np_001	5.0,
ta_min	8.6(07),
w_rec	256.0,
e	123.0,
np_300	0.0,
p_mes	45.4,
w_med	13.0,
nt_00	0.0,
ti_max	19.4,
tm_mes	20.4,
tm_max	27.8,
q_min	923.3(30),
np_010	3.0
{	

fecha	2019-6,
indicativo	8309X,
p_max	0.6(13),
hr	35.0,
inso	11.8,
q_max	936.9(01),
nw_55	1.0,
q_mar	1013.4,
q_med	929.4,
tm_min	10.9,
ta_max	38.5(29),
ts_min	18.4,
nt_30	16.0,
w_racha	27/16.4(05),
np_100	0.0,
p_sol	79.0,
nw_91	0.0,
np_001	2.0,
ta_min	3.8(12),
w_rec	274.0,
e	93.0,
np_300	0.0,
p_mes	1.0,
w_med	15.0,
nt_00	0.0,
ti_max	21.6,
tm_mes	20.2,
tm_max	29.5,
q_min	921.3(05),
np_010	0.0
{	

fecha	2020-6,
indicativo	8309X,
p_max	8.2(08),
hr	41.0,
inso	11.2,
q_max	936.8(22),
nw_55	2.0,
q_mar	1012.8,
q_med	928.7,
tm_min	12.5,
ta_max	36.5(29),
ts_min	16.5,
nt_30	13.0,
w_racha	29/15.8(12),
np_100	0.0,
p_sol	75.0,
nw_91	0.0,
np_001	3.0,
ta_min	8.4(10),
w_rec	275.0,
e	108.0,
np_300	0.0,
p_mes	16.0,
w_med	13.0,
nt_00	0.0,
ti_max	21.0,
tm_mes	20.8,
tm_max	29.0,
q_min	918.5(11),
np_010	2.0
{	

fecha	2000-7,	fecha	2001-7,	fecha	2002-7,	fecha	2003-7,	fecha	2004-7,	fecha	2005-7,	fecha	2006-7,	fecha	2007-7,	fecha	2008-7,	fecha	2009-7,	fecha	2010-7,
indicativo	8309X,	indicativo	8309X,	indicativo	8309X,	indicativo	8309X,	indicativo	8309X	indicativo	8309X,	indicativo	8309X,	indicativo	8309X,	indicativo	8309X,	indicativo	8309X,	indicativo	8309X,
p_max	1.7(10),	p_max	0.2(03),	p_max	0.0(--),	p_max	3.4(20),	{		w_med	8.0	p_max	1.2(17),	p_max	0.0(--),	p_max	0.0(--),	p_max	2.0(09),	p_max	4.0(23),
nw_55	1.0,	nw_55	0.0,	np_100	0.0,	np_100	0.0,			{		nw_55	0.0,	hr	39.0,	hr	42.0,	hr	39.0,	hr	48.0,
tm_min	12.1,	tm_min	11.7,	np_001	0.0,	np_001	1.0,					tm_min	14.7,	nw_55	0.0,	nw_55	0.0,	q_max	938.0(25),	q_max	937.2(23),
ta_max	36.7(31),	ta_max	36.7(02),	np_300	0.0,	np_300	0.0,					ta_max	39.2(10),	tm_min	12.3,	tm_min	12.8,	nw_55	4.0,	nw_55	7.0,
ts_min	16.2,	ts_min	16.5,	p_mes	0.0,	p_mes	3.4,					ts_min	17.8,	ta_max	39.0(27),	ta_max	36.7(23),	q_mar	1016.0,	q_mar	1016.2,
nt_30	22.0,	nt_30	22.0,	w_med	8.0,	np_010	1.0					nt_30	28.0,	ts_min	15.6,	ts_min	17.1,	q_med	931.0,	q_med	931.0,
w_racha	23/15.8(01),	w_racha	33/14.7(19),	np_010	0.0	{						w_racha	28/15.0(27),	nt_30	31.0,	nt_30	24.0,	tm_min	14.9,	tm_min	15.4,
np_100	0.0,	np_100	0.0,	{								np_100	0.0,	w_racha	26/15.0(23),	w_racha	25/15.0(07),	ta_max	40.4(22),	ta_max	36.6(13),
nw_91	0.0,	nw_91	0.0,									nw_91		np_100	0.0,	np_100	0.0,	ts_min	18.9,	ts_min	17.8,
np_001	3.0,	np_001	1.0,									np_001	3.0,	nw_91	0.0,	nw_91	0.0,	nt_30	29.0,	nt_30	28.0,
ta_min	7.9(13),	ta_min	7.3(07),									ta_min	12.1(04),	np_001	0.0,	np_001	0.0,	w_racha	99/21.4(22),	w_racha	22/19.4(02),
w_rec	185.0,	w_rec	167.0,									w_rec	148.0,	ta_min	8.9(20),	ta_min	8.5(04),	np_100	0.0,	np_100	0.0,
np_300	0.0,	np_300	0.0,									e	106.0,	w_rec	156.0,	w_rec	157.0,	nw_91	0.0,	nw_91	0.0,
p_mes	2.0,	p_mes	0.2,									np_300	0.0,	e	125.0,	e	125.0,	np_001	1.0,	np_001	4.0,
w_med	10.0,	w_med	8.0,									p_mes	1.7,	np_300	0.0,	np_300	0.0,	ta_min	11.1(18),	ta_min	12.9(04),
nt_00	0.0,	nt_00	0.0,									w_med	8.0,	p_mes	0.0,	p_mes	0.0,	w_rec	281.0,	w_rec	221.0,
ti_max	27.0,	ti_max	25.6,									nt_00	0.0,	w_med	8.0,	w_med	9.0,	e	129.0,	e	158.0,
tm_mes	22.2,	tm_mes	22.0,									ti_max	30.6,	nt_00	0.0,	nt_00	0.0,	np_300	0.0,	np_300	0.0,
tm_max	32.2,	tm_max	32.2,									tm_mes	24.9,	ti_max	30.4,	ti_max	26.8,	p_mes	2.0,	p_mes	5.2,
np_010	1.0	np_010	0.0									tm_max	35.0,	tm_mes	23.2,	tm_mes	22.8,	w_med	14.0,	w_med	11.0,
{		{										np_010	1.0	tm_max	34.1,	tm_max	32.8,	nt_00	0.0,	nt_00	0.0,
												{		np_010	0.0	np_010	0.0	ti_max	28.1,	ti_max	27.8,
														{		{		tm_mes	24.7,	tm_mes	24.6,
																		tm_max	34.5,	tm_max	33.7,
																		q_min	924.9(06),	q_min	923.2(21),
																		np_010	1.0	np_010	1.0
																		{		{	

fecha	2011-7,	fecha	2012-7,	fecha	2013-7,	fecha	2014-7,	fecha	2015-7,	fecha	2016-7,	fecha	2017-7,	fecha	2018-7,	fecha	2019-7,	fecha	2020-7,
indicativo	8309X,	indicativo	8309X,	indicativo	8309X,	indicativo	8309X,	indicativo	8309X,	indicativo	8309X,	indicativo	8309X,	indicativo	8309X,	indicativo	8309X,	indicativo	8309X,
p_max	3.6(30),	p_max	0.4(27),	p_max	26.2(10),	p_max	2.4(03),	p_max	2.4(31),	p_max	0.2(11),	p_max	1.8(07),	p_max	8.6(11),	p_max	11.8(07),	p_max	13.2(14),
hr	47.0,	hr	42.0,	hr	45.0,	hr	41.0,	hr	42.0,	hr	38.0,	hr	42.0,	hr	41.0,	hr	38.0,	hr	44.0,
q_max	935.3(15),	inso	12.1,	inso	12.2,	inso	11.6,	inso	11.6,	inso	11.4,	inso	11.5,	q_max	935.1(06),	inso	11.6,	inso	11.3,
nw_55	3.0,	q_max	941.6(17),	q_max	938.8(30),	q_max	935.0(16),	q_max	937.6(03),	q_max	936.8(15),	q_max	937.4(01),	nw_55	0.0,	q_max	937.4(21),	q_max	936.7(04),
q_mar	1011.4,	nw_55	5.0,	nw_55	4.0,	nw_55	2.0,	nw_55	1.0,	nw_55	1.0,	nw_55	2.0,	q_mar	1013.3,	nw_55	1.0,	nw_55	1.0,
q_med	928.2,	q_mar	1013.3,	q_mar	1015.3,	q_mar	1012.7,	q_mar	1013.4,	q_mar	1015.4,	q_mar	1013.5,	q_med	929.9,	q_mar	1012.2,	q_mar	1014.3,
tm_min	14.8,	q_med	930.2,	q_med	931.9,	q_med	929.4,	q_med	930.9,	q_med	932.2,	q_med	930.6,	tm_min	14.8,	q_med	929.3,	q_med	931.2,
ta_max	36.2(29),	tm_min	14.2,	tm_min	14.2,	tm_min	14.0,	tm_min	16.8,	tm_min	15.3,	tm_min	15.5,	ta_max	37.0(31),	tm_min	15.8,	tm_min	16.0,
ts_min	17.9,	ta_max	38.1(31),	ta_max	35.7(25),	ta_max	38.3(17),	ta_max	40.8(07),	ta_max	38.3(11),	ta_max	41.6(13),	ts_min	18.3,	ta_max	39.5(12),	ta_max	38.4(31),
nt_30	26.0,	ts_min	18.3,	ts_min	16.6,	ts_min	16.3,	ts_min	20.7,	ts_min	18.7,	ts_min	19.8,	nt_30	29.0,	ts_min	19.2,	ts_min	18.4,
w_racha	01/25.3(30),	nt_30	30.0,	nt_30	29.0,	nt_30	25.0,	nt_30	31.0,	nt_30	28.0,	nt_30	28.0,	w_racha	14/15.0(11),	nt_30	27.0,	nt_30	25.0,
np_100	0.0,	w_racha	30/18.1(01),	w_racha	09/19.4(05),	w_racha	14/16.1(02),	w_racha	01/19.4(22),	w_racha	25/15.6(31),	w_racha	09/19.2(07),	np_100	0.0,	w_racha	17/24.2(07),	w_racha	28/18.3(30),
nw_91	1.0,	np_100	0.0,	np_100	1.0,	np_100	0.0,	np_100	0.0,	np_100	0.0,	np_100	0.0,	nw_91	0.0,	np_100	1.0,	np_100	1.0,
np_001	5.0,	p_sol	83.0,	p_sol	84.0,	p_sol	79.0,	p_sol	79.0,	p_sol	78.0,	p_sol	79.0,	np_001	1.0,	p_sol	79.0,	p_sol	77.0,
ta_min	9.7(08),	nw_91	0.0,	nw_91	0.0,	nw_91	0.0,	nw_91	0.0,	nw_91	0.0,	nw_91	0.0,	ta_min	12.2(29),	nw_91	0.0,	nw_91	0.0,
w_rec	262.0,	np_001	1.0,	np_001	8.0,	np_001	2.0,	np_001	3.0,	np_001	1.0,	np_001	1.0,	w_rec	250.0,	np_001	2.0,	np_001	5.0,
e	140.0,	ta_min	10.3(02),	ta_min	11.0(01),	ta_min	10.4(04),	ta_min	14.6(11),	ta_min	11.7(18),	ta_min	10.4(01),	e	114.0,	ta_min	13.5(03),	ta_min	13.0(15),
np_300	0.0,	w_rec	256.0,	w_rec	237.0,	w_rec	279.0,	w_rec	244.0,	w_rec	250.0,	w_rec	265.0,	np_300	0.0,	w_rec	267.0,	w_rec	232.0,
p_mes	7.6,	e	132.0,	e	139.0,	e	125.0,	e	150.0,	e	124.0,	e	136.0,	p_mes	8.6,	e	124.0,	e	142.0,
w_med	13.0,	np_300	0.0,	np_300	0.0,	np_300	0.0,	np_300	0.0,	np_300	0.0,	np_300	0.0,	w_med	12.0,	np_300	0.0,	np_300	0.0,
nt_00	0.0,	p_mes	0.4,	p_mes	39.2,	p_mes	3.6,	p_mes	3.0,	p_mes	0.2,	p_mes	1.8,	nt_00	0.0,	p_mes	13.0,	p_mes	16.8,
ti_max	25.5,	w_med	13.0,	w_med	12.0,	w_med	13.0,	w_med	12.0,	w_med	12.0,	w_med	13.0,	ti_max	28.4,	w_med	13.0,	w_med	11.0,
tm_mes	23.6,	nt_00	0.0,	nt_00	0.0,	nt_00	0.0,	nt_00	0.0,	nt_00	0.0,	nt_00	0.0,	tm_mes	24.0,	nt_00	0.0,	nt_00	0.0,
tm_max	32.4,	ti_max	28.1,	ti_max	29.6,	ti_max	23.4,	ti_max	30.3,	ti_max	27.5,	ti_max	26.3,	tm_max	33.1,	ti_max	26.6,	ti_max	28.5,
q_min	921.9(12),	tm_mes	24.0,	tm_mes	23.5,	tm_mes	23.3,	tm_mes	26.5,	tm_mes	24.7,	tm_mes	24.8,	q_min	924.2(01),	tm_mes	24.5,	tm_mes	24.7,
np_010	3.0	tm_max	33.7,	tm_max	32.7,	tm_max	32.5,	tm_max	36.1,	tm_max	34.1,	tm_max	34.1,	np_010	1.0	tm_max	33.2,	tm_max	33.3,
{		q_min	923.0(05),	q_min	924.1(27),	q_min	923.9(24),	q_min	921.7(31),	q_min	926.7(12),	q_min	923.8(31),	{		q_min	920.7(27),	q_min	926.5(01),
		np_010	0.0	np_010	4.0	np_010	2.0	np_010	1.0	np_010	0.0	np_010	1.0			np_010	2.0	np_010	3.0
		{		{		{		{		{		{				{		{	

fecha	2000-8,
indicativo	8309X,
p_max	4.6(30),
nw_55	2.0,
tm_min	11.8,
ta_max	37.0(02),
ts_min	16.1,
nt_30	25.0,
w_racha	26/18.6(02),
np_100	0.0,
nw_91	0.0,
np_001	3.0,
ta_min	5.9(22),
w_rec	169.0,
np_300	0.0,
p_mes	4.9,
w_med	9.0,
nt_00	0.0,
ti_max	26.4,
tm_mes	22.3,
tm_max	32.7,
np_010	1.0
{	

fecha	2001-8,
indicativo	8309X,
p_max	1.1(14),
nw_55	0.0,
tm_min	13.6,
ta_max	37.8(23),
ts_min	17.3,
nt_30	28.0,
w_racha	27/13.6(08),
np_100	0.0,
nw_91	0.0,
np_001	3.0,
ta_min	8.5(20),
w_rec	150.0,
np_300	0.0,
p_mes	2.1,
w_med	8.0,
nt_00	0.0,
ti_max	27.8,
tm_mes	23.4,
tm_max	33.1,
np_010	1.0
{	

fecha	2002-8,
indicativo	8309X,
p_max	22.4(08),
nw_55	3.0,
tm_min	13.2,
ta_max	35.0(14),
ts_min	17.7,
nt_30	15.0,
w_racha	02/22.8(11),
np_100	1.0,
nw_91	0.0,
np_001	10.0,
ta_min	8.6(26),
w_rec	154.0,
np_300	0.0,
p_mes	44.2,
w_med	7.0,
nt_00	0.0,
ti_max	22.8,
tm_mes	21.4,
tm_max	29.5,
np_010	7.0
{	

fecha	2003-8,
indicativo	8309X
{	

fecha	2004-8,
indicativo	8309X,
p_max	0.0(--),
nw_55	2.0,
tm_min	13.7,
ta_max	38.6(24),
ts_min	17.7,
nt_30	27.0,
w_racha	24/17.5(16),
np_100	0.0,
nw_91	0.0,
np_001	0.0,
ta_min	10.1(19),
w_rec	157.0,
np_300	0.0,
p_mes	0.0,
w_med	8.0,
nt_00	0.0,
ti_max	27.5,
tm_mes	23.2,
tm_max	32.7,
np_010	0.0
{	

fecha	2005-8,
indicativo	8309X,
p_max	1.5(09),
nw_55	1.0,
tm_min	13.8,
ta_max	40.3(07),
ts_min	18.0,
nt_30	23.0,
w_racha	03/21.4(10),
np_100	0.0,
nw_91	0.0,
np_001	2.0,
ta_min	10.5(05),
w_rec	158.0,
np_300	0.0,
p_mes	2.4,
w_med	8.0,
nt_00	0.0,
ti_max	23.8,
tm_mes	23.2,
tm_max	32.5,
np_010	1.0
{	

fecha	2006-8,
indicativo	8309X,
p_max	4.5(08),
nw_55	1.0,
tm_min	13.6,
ta_max	37.1(02),
ts_min	18.2,
nt_30	25.0,
w_racha	27/16.4(16),
np_100	0.0,
nw_91	0.0,
np_001	2.0,
ta_min	6.7(18),
w_rec	162.0,
e	121.0,
np_300	0.0,
p_mes	6.4,
w_med	8.0,
nt_00	0.0,
ti_max	21.5,
tm_mes	23.0,
tm_max	32.5,
np_010	2.0
{	

fecha	2007-8,
indicativo	8309X,
p_max	5.5(05),
hr	46.0,
nw_55	2.0,
tm_min	13.8,
ta_max	39.5(01),
ts_min	18.3,
nt_30	22.0,
w_racha	27/20.6(28),
np_100	0.0,
nw_91	0.0,
np_001	5.0,
ta_min	8.5(23),
w_rec	169.0,
e	127.0,
np_300	0.0,
p_mes	12.1,
w_med	9.0,
nt_00	0.0,
ti_max	22.6,
tm_mes	22.8,
tm_max	31.8,
np_010	2.0
{	

fecha	2008-8,
indicativo	8309X,
p_max	0.9(23),
hr	45.0,
nw_55	2.0,
tm_min	13.5,
ta_max	38.7(04),
ts_min	18.8,
nt_30	28.0,
w_racha	26/15.8(12),
np_100	0.0,
nw_91	0.0,
np_001	1.0,
ta_min	7.9(16),
w_rec	171.0,
e	132.0,
np_300	0.0,
p_mes	0.9,
w_med	9.0,
nt_00	0.0,
ti_max	27.3,
tm_mes	23.3,
tm_max	33.1,
np_010	0.0
{	

fecha	2009-8,
indicativo	8309X,
p_max	1.4(09),
hr	47.0,
q_max	935.6(21),
nw_55	0.0,
q_mar	1016.4,
q_med	930.9,
tm_min	14.5,
ta_max	37.0(21),
ts_min	18.6,
nt_30	27.0,
w_racha	35/14.7(09),
np_100	0.0,
nw_91	0.0,
np_001	1.0,
ta_min	11.4(16),
w_rec	235.0,
e	141.0,
np_300	0.0,
p_mes	1.4,
w_med	12.0,
nt_00	0.0,
ti_max	26.4,
tm_mes	24.0,
tm_max	33.5,
q_min	923.4(24),
np_010	1.0
{	

fecha	2010-8,
indicativo	8309X,
p_max	14.0(10),
hr	57.0,
q_max	938.6(20),
nw_55	7.0,
q_mar	1016.2,
q_med	930.5,
tm_min	15.6,
ta_max	37.7(26),
ts_min	19.6,
nt_30	23.0,
w_racha	30/17.5(10),
np_100	2.0,
nw_91	0.0,
np_001	7.0,
ta_min	13.2(18),
w_rec	215.0,
e	162.0,
np_300	0.0,
p_mes	36.0,
w_med	10.0,
nt_00	0.0,
ti_max	19.7,
tm_mes	23.7,
tm_max	31.8,
q_min	925.4(04),
np_010	4.0
{	

fecha	2011-8,	fecha	2012-8,	fecha	2013-8,	fecha	2014-8,	fecha	2015-8,	fecha	2016-8,	fecha	2017-8,	fecha	2018-8,	fecha	2019-8,	fecha	2020-8,
indicativo	8309X	indicativo	8309X,	indicativo	8309X	indicativo	8309X,	indicativo	8309X	indicativo	8309X,	indicativo	8309X,	indicativo	8309X,	indicativo	8309X,	indicativo	8309X,
{		w_rec	260.0,	{		p_max	0.0(--),	{		p_max	1.2(16),	p_max	10.8(29),	p_max	7.4(17),	p_max	27.6(27),	p_max	10.6(11),
		w_med	13.0			hr	47.0,			hr	46.0,	hr	50.0,	hr	53.0,	hr	46.0,	hr	40.0,
		{				inso	11.0,			inso	11.5,	inso	9.7,	q_max	937.8(10),	inso	10.7,	inso	11.2,
						q_max	935.7(16),			q_max	939.7(12),	q_max	936.8(10),	nw_55	4.0,	q_max	935.8(29),	q_max	935.6(22),
						nw_55	2.0,			nw_55	0.0,	nw_55	0.0,	q_mar	1015.2,	nw_55	1.0,	nw_55	1.0,
						q_mar	1012.7,			q_mar	1016.9,	q_mar	1015.1,	q_med	931.6,	q_mar	1014.4,	q_mar	1012.4,
						q_med	929.5,			q_med	933.2,	q_med	931.6,	tm_min	16.7,	q_med	931.0,	q_med	929.4,
						tm_min	15.6,			tm_min	14.7,	tm_min	15.7,	ta_max	40.2(03),	tm_min	15.0,	tm_min	15.4,
						ta_max	36.8(08),			ta_max	37.8(03),	ta_max	39.4(04),	ts_min	19.8,	ta_max	37.5(17),	ta_max	39.5(08),
						ts_min	18.4,			ts_min	19.1,	ts_min	20.2,	nt_30	25.0,	ts_min	18.9,	ts_min	19.0,
						nt_30	27.0,			nt_30	26.0,	nt_30	23.0,	w_racha	16/19.4(06),	nt_30	24.0,	nt_30	27.0,
						w_racha	09/20.3(31),			w_racha	24/12.8(04),	w_racha	20/14.7(25),	np_100	0.0,	w_racha	29/16.7(26),	w_racha	26/21.1(11),
						np_100	0.0,			np_100	0.0,	np_100	1.0,	nw_91	0.0,	np_100	1.0,	np_100	1.0,
						p_sol	80.0,			p_sol	84.0,	p_sol	71.0,	np_001	10.0,	p_sol	78.0,	p_sol	82.0,
						nw_91	0.0,			nw_91	0.0,	nw_91	0.0,	ta_min	12.7(20),	nw_91	0.0,	nw_91	0.0,
						np_001	0.0,			np_001	2.0,	np_001	7.0,	w_rec	222.0,	np_001	5.0,	np_001	2.0,
						ta_min	12.5(03),			ta_min	10.6(26),	ta_min	11.1(11),	e	149.0,	ta_min	11.5(22),	ta_min	9.7(31),
						w_rec	242.0,			w_rec	232.0,	w_rec	249.0,	np_300	0.0,	w_rec	231.0,	w_rec	222.0,
						e	141.0,			e	135.0,	e	147.0,	p_mes	31.2,	e	134.0,	e	125.0,
						np_300	0.0,			np_300	0.0,	np_300	0.0,	w_med	11.0,	np_300	0.0,	np_300	0.0,
						p_mes	0.0,			p_mes	2.2,	p_mes	15.4,	nt_00	0.0,	p_mes	37.6,	p_mes	10.8,
						w_med	12.0,			w_med	12.0,	w_med	12.0,	ti_max	24.9,	w_med	11.0,	w_med	11.0,
						nt_00	0.0,			nt_00	0.0,	nt_00	0.0,	tm_mes	24.7,	nt_00	0.0,	nt_00	0.0,
						ti_max	26.9,			ti_max	27.6,	ti_max	23.2,	tm_max	32.7,	ti_max	21.0,	ti_max	26.2,
						tm_mes	24.4,			tm_mes	23.8,	tm_mes	24.0,	q_min	925.6(07),	tm_mes	23.8,	tm_mes	24.6,
						tm_max	33.2,			tm_max	32.9,	tm_max	32.2,	np_010	7.0	tm_max	32.6,	tm_max	33.8,
						q_min	923.1(01),			q_min	924.9(18),	q_min	926.0(01),	{		q_min	925.2(06),	q_min	918.9(29),
						np_010	0.0			np_010	2.0	np_010	3.0			np_010	3.0	np_010	1.0
						{				{		{				{		{	

fecha	2000-9,
indicativo	8309X,
p_max	1.6(19),
nw_55	2.0,
tm_min	8.9,
ta_max	33.9(15),
ts_min	17.5,
nt_30	12.0,
w_racha	27/17.5(19),
np_100	0.0,
nw_91	0.0,
np_001	4.0,
ta_min	0.8(21),
w_rec	142.0,
np_300	0.0,
p_mes	3.4,
w_med	7.0,
nt_00	0.0,
ti_max	18.0,
tm_mes	18.8,
tm_max	28.6,
np_010	1.0
{	

fecha	2001-9,
indicativo	8309X,
nw_55	1.0,
tm_min	12.4,
ta_max	33.5(04),
ts_min	16.2,
nt_30	7.0,
w_racha	05/15.3(01),
nw_91	0.0,
ta_min	6.2(26),
w_rec	129.0,
w_med	6.0,
nt_00	0.0,
ti_max	19.4,
tm_mes	19.5,
tm_max	26.6
{	

fecha	2002-9,
indicativo	8309X,
p_max	16.1(20),
nw_55	0.0,
tm_min	10.9,
ta_max	30.4(12),
ts_min	16.4,
nt_30	1.0,
w_racha	03/14.4(15),
np_100	2.0,
nw_91	0.0,
np_001	7.0,
ta_min	4.7(10),
w_rec	124.0,
np_300	0.0,
p_mes	39.9,
w_med	6.0,
nt_00	0.0,
ti_max	19.7,
tm_mes	18.7,
tm_max	26.4,
np_010	4.0
{	

fecha	2003-9,
indicativo	8309X
{	

fecha	2004-9,
indicativo	8309X,
w_med	7.0
{	

fecha	2005-9,
indicativo	8309X,
w_med	6.0
{	

fecha	2006-9,
indicativo	8309X
{	

fecha	2007-9,
indicativo	8309X,
p_max	4.3(21),
hr	54.0,
nw_55	0.0,
tm_min	10.7,
ta_max	33.1(03),
ts_min	14.6,
nt_30	7.0,
w_racha	27/11.1(17),
np_100	0.0,
nw_91	0.0,
np_001	9.0,
ta_min	4.5(28),
w_rec	126.0,
e	116.0,
np_300	0.0,
p_mes	8.6,
w_med	7.0,
nt_00	0.0,
ti_max	17.0,
tm_mes	18.9,
tm_max	27.0,
np_010	2.0
{	

fecha	2008-9,
indicativo	8309X,
p_max	38.2(23),
hr	55.0,
nw_55	1.0,
tm_min	10.4,
ta_max	31.9(02),
ts_min	16.7,
nt_30	5.0,
w_racha	22/15.6(21),
np_100	2.0,
nw_91	0.0,
np_001	12.0,
ta_min	4.2(15),
w_rec	158.0,
e	110.0,
np_300	1.0,
p_mes	79.1,
w_med	8.0,
nt_00	0.0,
ti_max	15.6,
tm_mes	18.0,
tm_max	25.5,
np_010	5.0
{	

fecha	2009-9,
indicativo	8309X,
p_max	18.4(17),
hr	64.0,
q_max	936.5(10),
nw_55	4.0,
q_mar	1018.8,
q_med	931.3,
tm_min	12.0,
ta_max	35.6(04),
ts_min	18.7,
nt_30	5.0,
w_racha	22/22.8(17),
np_100	3.0,
nw_91	0.0,
np_001	14.0,
ta_min	8.1(16),
w_rec	226.0,
e	133.0,
np_300	0.0,
p_mes	54.6,
w_med	10.0,
nt_00	0.0,
ti_max	17.8,
tm_mes	18.9,
tm_max	25.8,
q_min	921.6(16),
np_010	7.0
{	

fecha	2010-9,
indicativo	8309X,
p_max	8.2(01),
hr	59.0,
q_max	938.6(13),
q_mar	1016.7,
q_med	929.7,
tm_min	11.5,
ta_max	33.3(05),
ts_min	15.2,
nt_30	6.0,
np_100	0.0,
np_001	6.0,
ta_min	4.0(27),
e	129.0,
np_300	0.0,
p_mes	15.0,
w_med	10.0,
nt_00	0.0,
ti_max	20.7,
tm_mes	19.5,
tm_max	27.5,
q_min	920.5(07),
np_010	3.0
{	

fecha	2011-9,	fecha	2012-9,	fecha	2013-9,	fecha	2014-9,	fecha	2015-9,	fecha	2016-9,	fecha	2017-9,	fecha	2018-9,	fecha	2019-9,	fecha	2020-9,
indicativo	8309X,	indicativo	8309X,	indicativo	8309X,	indicativo	8309X,	indicativo	8309X,	indicativo	8309X,	indicativo	8309X,	indicativo	8309X,	indicativo	8309X,	indicativo	8309X,
p_max	9.4(02),	p_max	26.0(28),	p_max	3.2(28),	p_max	41.8(24),	p_max	11.8(07),	q_max	942.3(28),	p_max	3.2(06),	p_max	12.4(18),	p_max	15.8(13),	p_max	19.4(18),
hr	56.0,	hr	53.0,	hr	61.0,	hr	59.0,	hr	59.0,	q_mar	1017.3,	hr	52.0,	hr	60.0,	hr	60.0,	hr	51.0,
q_max	940.1(06),	inso	8.5,	inso	9.0,	inso	8.3,	inso	8.2,	q_med	932.6,	inso	9.6,	q_max	943.9(26),	inso	8.2,	inso	9.4,
nw_55	1.0,	q_max	937.0(07),	q_max	938.4(22),	q_max	938.9(30),	q_max	938.0(19),	e	121.0,	q_max	938.4(28),	nw_55	1.0,	q_max	940.8(12),	q_max	939.4(04),
q_mar	1016.2,	nw_55	6.0,	nw_55	4.0,	nw_55	5.0,	nw_55	1.0,	q_min	924.2(13)	nw_55	0.0,	q_mar	1018.3,	nw_55	4.0,	q_mar	1016.8,
q_med	931.9,	q_mar	1014.7,	q_mar	1015.9,	q_mar	1014.0,	q_mar	1015.5,	{		q_mar	1016.6,	q_med	933.5,	q_mar	1017.2,	q_med	931.7,
tm_min	11.7,	q_med	929.9,	q_med	931.1,	q_med	929.6,	q_med	930.2,			q_med	931.6,	tm_min	14.0,	q_med	932.2,	tm_min	11.6,
ta_max	34.6(08),	tm_min	11.7,	tm_min	12.6,	tm_min	13.4,	tm_min	11.4,			tm_min	10.9,	ta_max	34.9(02),	tm_min	13.5,	ta_max	32.3(11),
ts_min	13.8,	ta_max	35.3(16),	ta_max	32.0(25),	ta_max	37.8(02),	ta_max	29.9(21),			ta_max	32.1(14),	ts_min	17.5,	ta_max	33.4(01),	ts_min	16.4,
nt_30	13.0,	ts_min	15.1,	ts_min	15.4,	ts_min	16.6,	ts_min	16.6,			ts_min	15.9,	nt_30	10.0,	ts_min	17.3,	nt_30	8.0,
w_racha	21/20.0(02),	nt_30	13.0,	nt_30	8.0,	nt_30	14.0,	nt_30	0.0,			nt_30	8.0,	w_racha	18/15.8(03),	nt_30	5.0,	np_100	1.0,
np_100	0.0,	w_racha	22/18.9(23),	w_racha	09/20.8(09),	w_racha	34/17.2(02),	w_racha	24/15.8(16),			w_racha	35/14.7(10),	np_100	1.0,	w_racha	01/19.2(10),	p_sol	76.0,
nw_91	0.0,	np_100	1.0,	np_100	0.0,	np_100	2.0,	np_100	2.0,			np_100	0.0,	nw_91	0.0,	np_100	1.0,	np_001	6.0,
np_001	4.0,	p_sol	68.0,	p_sol	72.0,	p_sol	66.0,	p_sol	66.0,			p_sol	77.0,	np_001	9.0,	p_sol	66.0,	ta_min	7.2(26),
ta_min	7.9(20),	nw_91	0.0,	nw_91	0.0,	nw_91	0.0,	nw_91	0.0,			nw_91	0.0,	ta_min	8.2(30),	nw_91	0.0,	e	113.0,
w_rec	214.0,	np_001	4.0,	np_001	5.0,	np_001	13.0,	np_001	10.0,			np_001	5.0,	w_rec	205.0,	np_001	7.0,	np_300	0.0,
e	129.0,	ta_min	8.0(26),	ta_min	10.3(04),	ta_min	9.0(26),	ta_min	7.7(15),			ta_min	5.7(18),	e	143.0,	ta_min	8.7(23),	p_mes	32.2,
np_300	0.0,	w_rec	268.0,	w_rec	224.0,	w_rec	201.0,	w_rec	235.0,			w_rec	229.0,	np_300	0.0,	w_rec	243.0,	nt_00	0.0,
p_mes	21.6,	e	117.0,	e	142.0,	e	139.0,	e	123.0,			e	116.0,	p_mes	25.4,	e	138.0,	ti_max	19.8,
w_med	11.0,	np_300	0.0,	np_300	0.0,	np_300	1.0,	np_300	0.0,			np_300	0.0,	w_med	10.0,	np_300	0.0,	tm_mes	19.5,
nt_00	0.0,	p_mes	35.6,	p_mes	4.8,	p_mes	87.8,	p_mes	37.0,			p_mes	5.2,	nt_00	0.0,	p_mes	35.2,	tm_max	27.3,
ti_max	18.3,	w_med	13.0,	w_med	11.0,	w_med	9.0,	w_med	11.0,			w_med	11.0,	ti_max	21.3,	w_med	12.0,	q_min	924.2(27),
tm_mes	20.6,	nt_00	0.0,	nt_00	0.0,	nt_00	0.0,	nt_00	0.0,			nt_00	0.0,	tm_mes	21.2,	nt_00	0.0,	np_010	4.0
tm_max	29.4,	ti_max	15.2,	ti_max	20.9,	ti_max	20.2,	ti_max	20.2,			ti_max	21.1,	tm_max	28.4,	ti_max	18.7,	{	
q_min	924.1(01),	tm_mes	19.7,	tm_mes	20.4,	tm_mes	21.2,	tm_mes	18.6,			tm_mes	19.3,	q_min	926.3(04),	tm_mes	20.1,		
np_010	3.0	tm_max	27.7,	tm_max	28.1,	tm_max	28.9,	tm_max	25.7,			tm_max	27.7,	np_010	4.0	tm_max	26.7,		
{		q_min	919.3(26),	q_min	922.9(28),	q_min	922.7(16),	q_min	920.3(16),			q_min	920.0(09),	{		q_min	923.7(10),		
		np_010	3.0	np_010	2.0	np_010	10.0	np_010	7.0			np_010	2.0			np_010	6.0		
		{		{		{		{				{				{			

fecha	2000-10,	fecha	2001-10,	fecha	2002-10,	fecha	2003-10,	fecha	2004-10,	fecha	2005-10,	fecha	2006-10,	fecha	2007-10,	fecha	2008-10,	fecha	2009-10,	fecha	2010-10,
indicativo	8309X,	indicativo	8309X,	indicativo	8309X,	indicativo	8309X,	indicativo	8309X,	indicativo	8309X,	indicativo	8309X,	indicativo	8309X,	indicativo	8309X,	indicativo	8309X,	indicativo	8309X,
p_max	60.9(23),	p_max	19.4(12),	p_max	11.9(08),	nw_55	1.0,	p_max	20.2(27),	p_max	11.7(14),	p_max	9.3(20),	p_max	4.8(11),	p_max	40.6(13),	p_max	12.8(21),	p_max	23.8(09),
nw_55	1.0,	nw_55	2.0,	nw_55	2.0,	w_racha	25/17.5(31),	nw_55	3.0,	nw_55	0.0,	hr	59.0,	hr	61.0,	hr	67.0,	hr	66.0,	q_max	938.4(27),
tm_min	6.4,	tm_min	8.3,	tm_min	6.6,	nw_91	0.0,	tm_min	5.7,	tm_min	7.6,	nw_55	0.0,	nw_55	2.0,	nw_55	3.0,	q_max	939.0(31),	q_mar	1014.7,
ta_max	27.4(04),	ta_max	26.4(03),	ta_max	28.1(27),	w_rec	179.0,	ta_max	29.9(02),	ta_max	29.7(01),	tm_min	8.9,	tm_min	6.8,	tm_min	7.3,	nw_55	10.0,	q_med	926.6,
ts_min	11.8,	ts_min	15.0,	ts_min	13.1,	w_med	8.0	ts_min	11.2,	ts_min	14.3,	ta_max	32.0(02),	ta_max	28.2(01),	ta_max	25.8(06),	q_mar	1018.8,	tm_min	6.0,
nt_30	0.0, 26/18.9(11),	nt_30	0.0, 26/22.2(12),	nt_30	0.0, 26/16.1(21),	{		nt_30	0.0, 26/18.9(20),	nt_30	0.0, 28/10.6(31),	ts_min	14.6,	ts_min	12.6,	ts_min	14.6,	q_med	930.5,	ta_max	28.4(02),
w_racha		w_racha		w_racha				w_racha		w_racha		nt_30	2.0, 28/14.2(23),	nt_30	0.0, 02/17.8(31),	nt_30	0.0, 22/16.4(10),	tm_min	8.6,	ts_min	13.4,
np_100	4.0,	np_100	4.0,	np_100	1.0,			np_100	1.0,	np_100	1.0,	w_racha		w_racha		w_racha		ta_max	30.0(06),	nt_30	0.0,
nw_91	0.0,	nw_91	0.0,	nw_91	0.0,			nw_91	0.0,	nw_91	0.0,	np_100	0.0,	np_100	0.0,	np_100	3.0,	ts_min	12.2,	np_100	3.0,
np_001	9.0,	np_001	10.0,	np_001	11.0,			np_001	8.0,	np_001	12.0,	nw_91	0.0,	nw_91	0.0,	nw_91	0.0,	nt_30	1.0, 30/26.1(22),	np_001	10.0,
ta_min	2.2(18),	ta_min	2.5(31),	ta_min	1.6(29),			ta_min	-1.0(14),	ta_min	0.6(14),	np_001	7.0,	np_001	20.0,	np_001	20.0,	w_racha		ta_min	-1.5(27),
w_rec	158.0,	w_rec	121.0,	w_rec	138.0,			w_rec	141.0,	w_rec	115.0,	ta_min	3.6(13),	ta_min	0.6(22),	ta_min	0.0(30),	np_100	1.0,	np_300	0.0,
np_300	3.0,	np_300	0.0,	np_300	0.0,			np_300	0.0,	np_300	0.0,	w_rec	148.0,	w_rec	135.0,	w_rec	181.0,	nw_91	1.0,	p_mes	52.2,
p_mes	149.2,	p_mes	55.4,	p_mes	35.3,			p_mes	36.8,	p_mes	38.4,	e	106.0,	e	93.0,	e	99.0,	np_001	8.0,	w_med	12.0,
w_med	7.0,	w_med	5.0,	w_med	6.0,			w_med	6.0,	w_med	5.0,	np_300	0.0,	np_300	0.0,	np_300	1.0,	ta_min	2.4(18),	nt_00	2.0,
nt_00	0.0,	nt_00	0.0,	nt_00	0.0,			nt_00	1.0,	nt_00	0.0,	p_mes	14.0,	p_mes	18.0,	p_mes	123.9,	w_rec	212.0,	ti_max	12.8,
ti_max	12.9,	ti_max	16.2,	ti_max	12.1,			ti_max	12.6,	ti_max	15.9,	w_med	7.0,	w_med	6.0,	w_med	7.0,	e	118.0,	tm_mes	13.6,
tm_mes	13.2,	tm_mes	15.0,	tm_mes	14.4,			tm_mes	13.8,	tm_mes	14.7,	nt_00	0.0,	nt_00	0.0,	nt_00	1.0,	np_300	0.0,	tm_max	21.2,
tm_max	20.0,	tm_max	21.7,	tm_max	22.1,			tm_max	22.0,	tm_max	21.7,	ti_max	17.7,	ti_max	13.2,	ti_max	8.8,	p_mes	24.0,	q_min	913.1(11),
np_010	6.0	np_010	5.0	np_010	6.0			np_010	6.0	np_010	6.0	tm_mes	16.4,	tm_mes	13.6,	tm_mes	13.0,	w_med	10.0,	np_010	4.0
{		{		{				{		{		tm_max	23.9,	tm_max	20.3,	tm_max	18.8,	nt_00	0.0,	{	
												np_010	2.0	np_010	4.0	np_010	13.0	ti_max	14.1,		
												{		{		{		tm_mes	16.4,		
																		tm_max	24.1,		
																		q_min	912.1(22),		
																		np_010	3.0		
																		{			

fecha	2011-10,	fecha	2012-10,	fecha	2013-10,	fecha	2014-10,	fecha	2015-10,	fecha	2016-10,	fecha	2017-10,	fecha	2018-10,	fecha	2019-10,	fecha	2020-10,
indicativo	8309X,	indicativo	8309X,	indicativo	8309X,	indicativo	8309X,	indicativo	8309X,	indicativo	8309X,	indicativo	8309X,	indicativo	8309X,	indicativo	8309X,	indicativo	8309X,
p_max	18.0(23),	p_max	41.8(20),	p_max	1.2(04),	p_max	3.4(13),	p_max	10.8(13),	p_max	10.4(21),	p_max	6.6(18),	p_max	29.2(18),	p_max	12.8(22),	p_max	8.6(02),
q_max	940.8(10),	hr	68.0,	hr	60.0,	hr	61.0,	hr	66.0,	hr	69.0,	hr	57.0,	hr	64.0,	hr	61.0,	hr	56.0,
nw_55	2.0,	inso	7.4,	inso	8.0,	inso	7.8,	inso	6.0,	inso	6.3,	inso	9.0,	q_max	939.5(23),	inso	8.1,	inso	8.7,
q_mar	1020.3,	q_max	936.0(07),	q_max	938.1(27),	q_max	939.1(01),	q_max	936.4(31),	q_max	944.1(28),	q_max	941.9(26),	nw_55	2.0,	q_max	936.6(11),	q_max	940.4(29),
q_med	932.8,	nw_55	7.0,	nw_55	4.0,	nw_55	4.0,	nw_55	3.0,	nw_55	0.0,	q_mar	1021.6,	q_mar	1014.6,	nw_55	0.0,	nw_55	3.0,
tm_min	8.1,	q_mar	1013.1,	q_mar	1017.4,	q_mar	1017.7,	q_mar	1015.9,	q_mar	1016.7,	q_med	935.2,	q_med	928.0,	q_mar	1016.9,	q_mar	1017.9,
ta_max	32.5(13),	q_med	926.9,	q_med	931.3,	q_med	931.7,	q_med	929.4,	q_med	930.5,	tm_min	8.3,	tm_min	7.7,	q_med	930.5,	q_med	930.8,
ts_min	11.8,	tm_min	7.8,	tm_min	9.1,	tm_min	9.8,	tm_min	8.7,	tm_min	9.9,	ta_max	31.4(05),	ta_max	28.5(06),	tm_min	8.2,	tm_min	5.9,
nt_30	4.0,	ta_max	30.7(08),	ta_max	30.6(02),	ta_max	31.0(21),	ta_max	25.9(05),	ta_max	29.4(04),	ts_min	13.4,	ts_min	12.3,	ta_max	30.3(09),	ta_max	28.6(07),
w_racha	08/16.7(29),	ts_min	14.1,	ts_min	16.4,	ts_min	13.0,	ts_min	16.6,	ts_min	13.6,	nt_30	3.0,	nt_30	0.0,	ts_min	14.2,	ts_min	11.3,
np_100	1.0,	nt_30	2.0,	nt_30	1.0,	nt_30	1.0,	nt_30	0.0,	nt_30	0.0,	np_100	0.0,	w_racha	31/20.0(29),	nt_30	1.0,	nt_30	0.0,
nw_91	0.0,	w_racha	35/22.2(27),	w_racha	22/21.4(15),	w_racha	22/25.8(10),	w_racha	25/18.6(05),	w_racha	29/12.5(06),	p_sol	80.0,	np_100	5.0,	w_racha	36/14.2(22),	w_racha	25/20.3(02),
np_001	8.0,	np_100	2.0,	np_100	0.0,	np_100	0.0,	np_100	1.0,	np_100	1.0,	np_001	2.0,	nw_91	0.0,	np_100	1.0,	np_100	0.0,
ta_min	1.9(26),	p_sol	66.0,	p_sol	72.0,	p_sol	70.0,	p_sol	54.0,	p_sol	56.0,	ta_min	2.6(23),	np_001	10.0,	p_sol	72.0,	p_sol	78.0,
w_rec	212.0,	nw_91	0.0,	nw_91	0.0,	nw_91	1.0,	nw_91	0.0,	nw_91	0.0,	e	104.0,	ta_min	0.3(28),	nw_91	0.0,	nw_91	0.0,
np_300	0.0,	np_001	11.0,	np_001	3.0,	np_001	7.0,	np_001	9.0,	np_001	10.0,	np_300	0.0,	w_rec	244.0,	np_001	7.0,	np_001	6.0,
p_mes	38.8,	ta_min	-1.1(29),	ta_min	1.6(31),	ta_min	5.9(23),	ta_min	0.5(15),	ta_min	2.2(31),	p_mes	6.8,	e	103.0,	ta_min	0.9(21),	ta_min	1.6(18),
w_med	9.0,	w_rec	236.0,	w_rec	218.0,	w_rec	227.0,	w_rec	233.0,	w_rec	174.0,	w_med	9.0,	np_300	0.0,	w_rec	231.0,	w_rec	283.0,
nt_00	0.0,	e	114.0,	e	112.0,	e	114.0,	e	111.0,	e	122.0,	nt_00	0.0,	p_mes	87.6,	e	105.0,	e	86.0,
ti_max	13.7,	np_300	1.0,	np_300	0.0,	np_300	0.0,	np_300	0.0,	np_300	0.0,	ti_max	16.5,	w_med	12.0,	np_300	0.0,	np_300	0.0,
tm_mes	15.9,	p_mes	82.8,	p_mes	2.4,	p_mes	8.0,	p_mes	19.8,	p_mes	22.0,	tm_mes	16.9,	nt_00	0.0,	p_mes	19.8,	p_mes	13.8,
tm_max	23.8,	w_med	11.0,	w_med	11.0,	w_med	10.0,	w_med	11.0,	w_med	9.0,	tm_max	25.5,	ti_max	7.3,	w_med	11.0,	w_med	13.0,
q_min	914.5(24),	nt_00	1.0,	nt_00	0.0,	nt_00	0.0,	nt_00	0.0,	nt_00	0.0,	q_min	924.0(19),	tm_mes	14.0,	nt_00	0.0,	nt_00	0.0,
np_010	4.0	ti_max	9.1,	ti_max	17.1,	ti_max	15.8,	ti_max	14.6,	ti_max	14.4,	np_010	1.0	tm_max	20.2,	ti_max	9.6,	ti_max	14.1,
{		tm_mes	14.8,	tm_mes	16.9,	tm_mes	17.2,	tm_mes	15.1,	tm_mes	16.4,	{		q_min	911.6(28),	tm_mes	15.7,	tm_mes	13.6,
		tm_max	21.8,	tm_max	24.7,	tm_max	24.6,	tm_max	21.5,	tm_max	22.7,			np_010	8.0	tm_max	23.1,	tm_max	21.3,
		q_min	909.8(31),	q_min	925.0(11),	q_min	921.5(14),	q_min	921.6(11),	q_min	915.5(13),			{		q_min	919.0(23),	q_min	908.4(02),
		np_010	7.0	np_010	2.0	np_010	2.0	np_010	5.0	np_010	5.0					np_010	4.0	np_010	3.0
		{		{		{		{		{						{		{	

fecha	2000-11,
indicativo	8309X,
p_max	4.0(23),
nw_55	5.0,
tm_min	1.6,
ta_max	19.5(28),
ts_min	10.5,
nt_30	0.0,
w_racha	25/21.9(06),
np_100	0.0,
nw_91	0.0,
np_001	11.0,
ta_min	-4.9(10),
w_rec	215.0,
np_300	0.0,
p_mes	20.3,
w_med	9.0,
nt_00	8.0,
ti_max	8.7,
tm_mes	7.1,
tm_max	12.6,
np_010	9.0
{	

fecha	2001-11,
indicativo	8309X
{	

fecha	2002-11,
indicativo	8309X,
p_max	14.4(24),
nw_55	5.0,
tm_min	4.8,
ta_max	24.9(10),
ts_min	11.3,
nt_30	0.0,
w_racha	01/21.1(07),
np_100	1.0,
nw_91	0.0,
np_001	13.0,
ta_min	-0.2(18),
w_rec	207.0,
np_300	0.0,
p_mes	45.2,
w_med	8.0,
nt_00	2.0,
ti_max	9.2,
tm_mes	10.0,
tm_max	15.3,
np_010	8.0
{	

fecha	2003-11,
indicativo	8309X,
p_max	4.1(23),
nw_55	2.0,
tm_min	3.5,
ta_max	20.6(08),
ts_min	7.5,
nt_30	0.0,
w_racha	27/18.3(27),
np_100	0.0,
nw_91	0.0,
np_001	9.0,
ta_min	-1.8(28),
w_rec	150.0,
np_300	0.0,
p_mes	13.9,
w_med	7.0,
nt_00	2.0,
ti_max	10.4,
tm_mes	9.4,
tm_max	15.2,
np_010	5.0
{	

fecha	2004-11,
indicativo	8309X
{	

fecha	2005-11,
indicativo	8309X,
w_med	5.0
{	

fecha	2006-11,
indicativo	8309X,
w_med	5.0
{	

fecha	2007-11,
indicativo	8309X,
p_max	8.8(20),
np_100	0.0,
np_001	2.0,
np_300	0.0,
p_mes	8.9,
w_med	5.0,
np_010	1.0
{	

fecha	2008-11,
indicativo	8309X,
p_max	13.4(01),
hr	61.0,
nw_55	4.0,
tm_min	0.3,
ta_max	17.9(10),
ts_min	8.1,
nt_30	0.0,
w_racha	01/21.1(13),
np_100	1.0,
nw_91	0.0,
np_001	5.0,
ta_min	-5.6(26),
w_rec	222.0,
e	58.0,
np_300	0.0,
p_mes	19.1,
w_med	8.0,
nt_00	12.0,
ti_max	5.8,
tm_mes	6.6,
tm_max	12.8,
np_010	4.0
{	

fecha	2009-11,
indicativo	8309X,
p_max	11.0(29),
hr	61.0,
inso	6.8,
q_max	942.2(23),
q_mar	1018.0,
q_med	930.2,
tm_min	4.4,
ta_max	25.6(01),
ts_min	9.2,
nt_30	0.0,
np_100	1.0,
p_sol	68.0,
np_001	3.0,
ta_min	-2.2(24),
e	80.0,
np_300	0.0,
p_mes	11.8,
w_med	15.0,
nt_00	2.0,
ti_max	7.5,
tm_mes	11.3,
tm_max	18.1,
q_min	915.1(29),
np_010	1.0
{	

fecha	2010-11,
indicativo	8309X,
p_max	11.6(08),
q_max	942.1(04),
q_mar	1015.5,
q_med	924.6,
tm_min	2.3,
ta_max	23.0(04),
ts_min	9.4,
nt_30	0.0,
np_100	1.0,
np_001	8.0,
ta_min	-4.3(29),
np_300	0.0,
p_mes	28.4,
w_med	14.0,
nt_00	9.0,
ti_max	3.3,
tm_mes	8.1,
tm_max	13.8,
q_min	903.3(09),
np_010	5.0
{	

fecha	2011-11,
indicativo	8309X,
p_max	31.0(20),
q_max	942.4(26),
nw_55	2.0,
q_mar	1019.0,
q_med	930.1,
tm_min	5.6,
ta_max	21.9(11),
ts_min	10.2,
nt_30	0.0,
w_racha	23/15.8(21),
np_100	2.0,
nw_91	0.0,
np_001	12.0,
ta_min	-0.2(27),
w_rec	225.0,
np_300	1.0,
p_mes	75.0,
w_med	10.0,
nt_00	1.0,
ti_max	9.8,
tm_mes	10.8,
tm_max	15.9,
q_min	909.4(04),
np_010	9.0
{	

fecha	2012-11,
indicativo	8309X
{	

fecha	2013-11,
indicativo	8309X,
p_max	2.2(13),
hr	58.0,
inso	7.2,
q_max	939.1(28),
nw_55	13.0,
q_mar	1018.6,
q_med	930.0,
tm_min	2.4,
ta_max	26.8(06),
ts_min	14.2,
nt_30	0.0,
w_racha	36/21.7(11),
np_100	0.0,
p_sol	72.0,
nw_91	0.0,
np_001	4.0,
ta_min	-8.0(29),
w_rec	406.0,
e	68.0,
np_300	0.0,
p_mes	5.8,
w_med	17.0,
nt_00	12.0,
ti_max	8.5,
tm_mes	9.0,
tm_max	15.5,
q_min	916.0(18),
np_010	3.0
{	

fecha	2014-11,
indicativo	8309X,
p_max	19.4(28),
hr	78.0,
inso	4.5,
q_max	937.1(01),
nw_55	5.0,
q_mar	1011.6,
q_med	924.1,
tm_min	5.1,
ta_max	23.3(01),
ts_min	9.2,
nt_30	0.0,
w_racha	16/20.6(07),
np_100	5.0,
p_sol	44.0,
nw_91	0.0,
np_001	13.0,
ta_min	-0.6(18),
w_rec	273.0,
e	100.0,
np_300	0.0,
p_mes	99.6,
w_med	12.0,
nt_00	1.0,
ti_max	9.5,
tm_mes	10.4,
tm_max	15.6,
q_min	903.5(28),
np_010	9.0
{	

fecha	2015-11,
indicativo	8309X,
p_max	13.4(01),
hr	63.0,
inso	7.8,
q_max	946.8(30),
nw_55	6.0,
q_mar	1024.9,
q_med	936.4,
tm_min	3.5,
ta_max	24.8(10),
ts_min	9.2,
nt_30	0.0,
w_racha	16/23.9(02),
np_100	2.0,
p_sol	78.0,
nw_91	0.0,
np_001	4.0,
ta_min	-2.8(29),
w_rec	255.0,
e	83.0,
np_300	0.0,
p_mes	24.2,
w_med	11.0,
nt_00	5.0,
ti_max	10.2,
tm_mes	11.1,
tm_max	18.7,
q_min	922.4(21),
np_010	2.0
{	

fecha	2016-11,
indicativo	8309X,
p_max	38.0(22),
hr	71.0,
inso	5.4,
q_max	941.4(30),
nw_55	2.0,
q_mar	1017.3,
q_med	928.9,
tm_min	3.3,
ta_max	24.3(02),
ts_min	9.5,
nt_30	0.0,
w_racha	32/16.1(08),
np_100	1.0,
p_sol	54.0,
nw_91	0.0,
np_001	11.0,
ta_min	-2.5(16),
w_rec	266.0,
e	83.0,
np_300	1.0,
p_mes	62.2,
w_med	11.0,
nt_00	5.0,
ti_max	8.1,
tm_mes	9.3,
tm_max	15.2,
q_min	914.1(23),
np_010	7.0
{	

fecha	2017-11,
indicativo	8309X,
p_max	5.6(28),
hr	49.0,
inso	7.9,
q_max	941.0(27),
nw_55	4.0,
q_mar	1020.3,
q_med	931.7,
tm_min	1.6,
ta_max	21.8(03),
ts_min	8.6,
nt_30	0.0,
w_racha	36/21.4(13),
np_100	0.0,
p_sol	78.0,
nw_91	0.0,
np_001	3.0,
ta_min	-4.5(27),
w_rec	287.0,
e	58.0,
np_300	0.0,
p_mes	8.0,
w_med	12.0,
nt_00	13.0,
ti_max	9.7,
tm_mes	9.6,
tm_max	17.6,
q_min	918.0(29),
np_010	2.0
{	

fecha	2018-11,
indicativo	8309X,
p_max	20.2(15),
hr	74.0,
q_max	938.3(13),
nw_55	2.0,
q_mar	1016.1,
q_med	928.0,
tm_min	4.8,
ta_max	18.8(11),
ts_min	10.8,
nt_30	0.0,
w_racha	30/22.2(26),
np_100	2.0,
nw_91	0.0,
np_001	13.0,
ta_min	-2.8(29),
w_rec	280.0,
e	91.0,
np_300	0.0,
p_mes	72.4,
w_med	14.0,
nt_00	4.0,
ti_max	9.5,
tm_mes	9.4,
tm_max	13.9,
q_min	914.0(19),
np_010	10.0
{	

fecha	2019-11,
indicativo	8309X,
p_max	12.2(22),
hr	67.0,
inso	5.4,
q_max	935.0(01),
nw_55	13.0,
q_mar	1012.2,
q_med	924.2,
tm_min	5.1,
ta_max	22.2(01),
ts_min	13.8,
nt_30	0.0,
w_racha	32/20.3(03),
np_100	1.0,
p_sol	54.0,
nw_91	0.0,
np_001	12.0,
ta_min	-2.5(20),
w_rec	435.0,
e	80.0,
np_300	0.0,
p_mes	33.4,
w_med	19.0,
nt_00	3.0,
ti_max	9.4,
tm_mes	9.4,
tm_max	13.6,
q_min	907.6(23),
np_010	6.0
{	

fecha	2020-11,
indicativo	8309X,
p_max	25.6(06),
hr	73.0,
inso	6.4,
q_max	943.2(19),
nw_55	1.0,
q_mar	1023.7,
q_med	935.3,
tm_min	4.8,
ta_max	26.6(01),
ts_min	12.3,
nt_30	0.0,
w_racha	27/15.6(07),
np_100	4.0,
p_sol	64.0,
nw_91	0.0,
np_001	7.0,
ta_min	-1.3(25),
w_rec	210.0,
e	96.0,
np_300	0.0,
p_mes	77.0,
w_med	9.0,
nt_00	4.0,
ti_max	10.1,
tm_mes	11.1,
tm_max	17.4,
q_min	924.6(26),
np_010	5.0
{	

```
{
  "fecha": 2000-12,
  "indicativo": 8309X,
  "p_max": 13.9(22),
  "nw_55": 5.0,
  "tm_min": 0.7,
  "ta_max": 17.1(13),
  "ts_min": 6.3,
  "nt_30": 0.0,
  "w_racha": 27/21.1(29),
  "np_100": 2.0,
  "nw_91": 0.0,
  "np_001": 13.0,
  "ta_min": -7.2(17),
  "w_rec": 193.0,
  "np_300": 0.0,
  "p_mes": 61.3,
  "w_med": 9.0,
  "nt_00": 13.0,
  "ti_max": 7.8,
  "tm_mes": 6.2,
  "tm_max": 11.7,
  "np_010": 11.0
}{
  "fecha": 2001-12,
  "indicativo": 8309X,
  "nw_55": 0.0,
  "tm_min": -4.0,
  "ta_max": 18.1(06),
  "ts_min": 3.7,
  "nt_30": 0.0,
  "w_racha": 22/10.8(15),
  "nw_91": 0.0,
  "ta_min": -9.3(16),
  "w_rec": 114.0,
  "w_med": 4.0,
  "nt_00": 24.0,
  "ti_max": 0.4,
  "tm_mes": 2.8,
  "tm_max": 9.6
{
  "fecha": 2002-12,
  "indicativo": 8309X,
  "p_max": 21.7(19),
  "nw_55": 3.0,
  "tm_min": 3.5,
  "ta_max": 18.6(23),
  "ts_min": 8.6,
  "nt_30": 0.0,
  "w_racha": 26/18.3(27),
  "np_100": 1.0,
  "nw_91": 0.0,
  "np_001": 14.0,
  "ta_min": -2.4(16),
  "w_rec": 182.0,
  "np_300": 0.0,
  "p_mes": 36.9,
  "w_med": 8.0,
  "nt_00": 4.0,
  "ti_max": 8.2,
  "tm_mes": 8.0,
  "tm_max": 12.6,
  "np_010": 8.0
{
  "fecha": 2003-12,
  "indicativo": 8309X,
  "p_max": 3.6(06),
  "nw_55": 6.0,
  "tm_min": -0.5,
  "ta_max": 19.1(14),
  "ts_min": 6.0,
  "nt_30": 0.0,
  "w_racha": 32/17.5(28),
  "np_100": 0.0,
  "nw_91": 0.0,
  "np_001": 8.0,
  "ta_min": -6.6(04),
  "w_rec": 207.0,
  "np_300": 0.0,
  "p_mes": 9.9,
  "w_med": 9.0,
  "nt_00": 20.0,
  "ti_max": 6.1,
  "tm_mes": 5.5,
  "tm_max": 11.4,
  "np_010": 4.0
{
  "fecha": 2004-12,
  "indicativo": 8309X,
  "p_max": 17.5(01),
  "nw_55": 7.0,
  "tm_min": 0.4,
  "ta_max": 15.7(24),
  "ts_min": 5.3,
  "nt_30": 0.0,
  "w_racha": 02/17.8(26),
  "np_100": 1.0,
  "nw_91": 0.0,
  "np_001": 8.0,
  "ta_min": -5.4(23),
  "w_rec": 217.0,
  "np_300": 0.0,
  "p_mes": 25.9,
  "w_med": 9.0,
  "nt_00": 12.0,
  "ti_max": 3.5,
  "tm_mes": 5.2,
  "tm_max": 10.0,
  "np_010": 4.0
{
  "fecha": 2005-12,
  "indicativo": 8309X,
  "p_max": 11.0(02),
  "nw_55": 5.0,
  "tm_min": -0.4,
  "ta_max": 16.5(08),
  "ts_min": 7.9,
  "nt_30": 0.0,
  "w_racha": 10/24.7(09),
  "np_100": 1.0,
  "nw_91": 0.0,
  "np_001": 6.0,
  "ta_min": -6.5(24),
  "w_rec": 179.0,
  "np_300": 0.0,
  "p_mes": 15.4,
  "w_med": 7.0,
  "nt_00": 20.0,
  "ti_max": 6.1,
  "tm_mes": 5.3,
  "tm_max": 11.0,
  "np_010": 3.0
{
  "fecha": 2006-12,
  "indicativo": 8309X,
  "w_med": 9.0
{
  "fecha": 2007-12,
  "indicativo": 8309X,
  "p_max": 12.9(17),
  "hr": 65.0,
  "nw_55": 0.0,
  "tm_min": -1.2,
  "ta_max": 19.9(05),
  "ts_min": 6.3,
  "nt_30": 0.0,
  "w_racha": 36/15.0(04),
  "np_100": 1.0,
  "nw_91": 0.0,
  "np_001": 6.0,
  "ta_min": -10.7(15),
  "w_rec": 152.0,
  "e": 59.0,
  "np_300": 0.0,
  "p_mes": 20.0,
  "w_med": 6.0,
  "nt_00": 18.0,
  "ti_max": 5.1,
  "tm_mes": 5.5,
  "tm_max": 12.2,
  "np_010": 2.0
{
  "fecha": 2008-12,
  "indicativo": 8309X,
  "w_rec": 337.0
{
  "fecha": 2009-12,
  "indicativo": 8309X,
  "p_max": 27.4(23),
  "q_max": 939.1(09),
  "nw_55": 20.0,
  "q_mar": 1013.3,
  "q_med": 923.4,
  "tm_min": 1.3,
  "ta_max": 19.0(11),
  "ts_min": 11.8,
  "nt_30": 0.0,
  "w_racha": 26/26.7(22),
  "np_100": 2.0,
  "nw_91": 1.0,
  "np_001": 16.0,
  "ta_min": -7.4(20),
  "w_rec": 382.0,
  "np_300": 0.0,
  "p_mes": 90.2,
  "w_med": 16.0,
  "nt_00": 12.0,
  "ti_max": 2.1,
  "tm_mes": 6.2,
  "tm_max": 11.0,
  "q_min": 905.7(24),
  "np_010": 12.0
{
  "fecha": 2010-12,
  "indicativo": 8309X,
  "p_max": 25.4(07),
  "q_max": 941.3(10),
  "nw_55": 9.0,
  "q_mar": 1016.9,
  "q_med": 925.2,
  "tm_min": 0.4,
  "ta_max": 20.4(09),
  "ts_min": 9.3,
  "nt_30": 0.0,
  "w_racha": 32/24.4(24),
  "np_100": 2.0,
  "nw_91": 0.0,
  "np_001": 13.0,
  "ta_min": -8.7(26),
  "w_rec": 268.0,
  "np_300": 0.0,
  "p_mes": 58.8,
  "w_med": 12.0,
  "nt_00": 14.0,
  "ti_max": 5.1,
  "tm_mes": 5.7,
  "tm_max": 11.0,
  "q_min": 907.1(23),
  "np_010": 10.0
{
]
```

fecha	2011-12,	fecha	2012-12,	fecha	2013-12,	fecha	2014-12,	fecha	2015-12,	fecha	2016-12,	fecha	2017-12,	fecha	2018-12,	fecha	2019-12,	fecha	2020-12,
indicativo	8309X,	indicativo	8309X,	indicativo	8309X,	indicativo	8309X,	indicativo	8309X,	indicativo	8309X,	indicativo	8309X,	indicativo	8309X,	indicativo	8309X,	indicativo	8309X,
p_max	0.2(02),	p_max	0.4(16),	p_max	19.0(25),	p_max	4.4(14),	p_max	0.8(31),	p_max	22.0(16),	p_max	5.8(26),	p_max	6.6(13),	p_max	11.4(20),	p_max	15.0(07),
q_max	946.6(26),	hr	70.0,	hr	67.0,	hr	67.0,	hr	65.0,	hr	79.0,	hr	66.0,	hr	67.0,	hr	74.0,	hr	68.0,
nw_55	7.0,	inso	6.3,	inso	6.3,	inso	6.9,	inso	6.5,	inso	5.0,	q_max	947.7(21),	q_max	944.1(22),	inso	4.8,	inso	6.9,
q_mar	1026.6,	q_max	943.7(28),	q_max	945.0(11),	q_max	944.3(22),	q_max	948.1(09),	q_max	948.2(24),	nw_55	10.0,	nw_55	2.0,	q_max	944.8(30),	q_max	940.9(21),
q_med	936.7,	nw_55	4.0,	nw_55	4.0,	nw_55	10.0,	nw_55	0.0,	q_mar	1027.8,	q_mar	1024.8,	q_mar	1026.7,	nw_55	6.0,	nw_55	12.0,
tm_min	1.1,	q_mar	1022.2,	q_mar	1025.9,	q_mar	1023.9,	q_mar	1030.8,	q_med	937.9,	q_med	934.7,	q_med	937.1,	q_mar	1020.5,	q_mar	1016.2,
ta_max	21.0(22),	q_med	932.7,	q_med	935.6,	q_med	934.0,	q_med	941.2,	tm_min	2.5,	tm_min	0.1,	tm_min	0.8,	q_med	931.5,	q_med	927.1,
ts_min	8.0,	tm_min	0.0,	tm_min	-1.5,	tm_min	0.5,	tm_min	1.4,	ta_max	18.3(26),	ta_max	16.7(08),	ta_max	21.6(05),	tm_min	2.9,	tm_min	1.5,
nt_30	0.0,	ta_max	19.3(24),	ta_max	17.4(06),	ta_max	17.6(18),	ta_max	21.1(19),	ts_min	8.9,	ts_min	8.1,	ts_min	6.0,	ta_max	20.3(26),	ta_max	17.7(14),
w_racha	26/20.3(16),	ts_min	9.2,	ts_min	5.7,	ts_min	6.4,	ts_min	7.1,	nt_30	0.0,	nt_30	0.0,	nt_30	0.0,	ts_min	11.2,	ts_min	10.3,
np_100	0.0,	nt_30	0.0,	nt_30	0.0,	nt_30	0.0,	nt_30	0.0,	np_100	4.0,	w_racha	25/21.9(27),	w_racha	28/16.4(16),	nt_30	0.0,	nt_30	0.0,
nw_91	0.0,	w_racha	31/16.7(05),	w_racha	36/26.7(20),	w_racha	34/21.1(28),	w_racha	27/12.2(30),	p_sol	53.0,	np_100	0.0,	np_100	0.0,	w_racha	26/25.3(22),	w_racha	26/26.1(28),
np_001	2.0,	np_100	0.0,	np_100	1.0,	np_100	0.0,	np_100	0.0,	np_001	7.0,	nw_91	0.0,	nw_91	0.0,	np_100	1.0,	np_100	1.0,
ta_min	-3.9(25),	p_sol	67.0,	p_sol	66.0,	p_sol	73.0,	p_sol	69.0,	ta_min	-3.3(29),	np_001	9.0,	np_001	2.0,	p_sol	51.0,	p_sol	73.0,
w_rec	322.0,	nw_91	0.0,	nw_91	1.0,	nw_91	0.0,	nw_91	0.0,	e	82.0,	ta_min	-5.9(06),	ta_min	-3.3(24),	nw_91	1.0,	nw_91	1.0,
np_300	0.0,	np_001	1.0,	np_001	3.0,	np_001	4.0,	np_001	1.0,	np_300	0.0,	w_rec	361.0,	w_rec	226.0,	np_001	8.0,	np_001	7.0,
p_mes	0.4,	ta_min	-6.2(27),	ta_min	-6.9(13),	ta_min	-7.0(31),	ta_min	-2.9(02),	p_mes	65.0,	e	63.0,	e	73.0,	ta_min	-3.3(30),	ta_min	-6.0(27),
w_med	14.0,	w_rec	307.0,	w_rec	277.0,	w_rec	320.0,	w_rec	162.0,	w_med	9.0,	np_300	0.0,	np_300	0.0,	w_rec	318.0,	w_rec	380.0,
nt_00	14.0,	e	71.0,	e	62.0,	e	67.0,	e	73.0,	nt_00	6.0,	p_mes	15.0,	p_mes	7.0,	e	81.0,	e	70.0,
ti_max	8.9,	np_300	0.0,	np_300	0.0,	np_300	0.0,	np_300	0.0,	ti_max	7.1,	w_med	15.0,	w_med	9.0,	np_300	0.0,	np_300	0.0,
tm_mes	7.3,	p_mes	0.4,	p_mes	29.0,	p_mes	8.4,	p_mes	0.8,	tm_mes	7.7,	nt_00	18.0,	nt_00	12.0,	p_mes	28.6,	p_mes	25.8,
tm_max	13.6,	w_med	14.0,	w_med	12.0,	w_med	13.0,	w_med	7.0,	tm_max	12.9,	ti_max	6.0,	ti_max	9.2,	w_med	14.0,	w_med	17.0,
q_min	926.8(16),	nt_00	17.0,	nt_00	22.0,	nt_00	16.0,	nt_00	10.0,	q_min	924.4(19),	tm_mes	6.0,	tm_mes	7.9,	nt_00	8.0,	nt_00	8.0,
np_010	0.0	ti_max	8.7,	ti_max	8.4,	ti_max	7.7,	ti_max	11.6,	np_010	7.0	tm_max	11.8,	tm_max	15.0,	ti_max	7.3,	ti_max	6.1,
{		tm_mes	6.6,	tm_mes	5.6,	tm_mes	6.9,	tm_mes	9.1,	{		q_min	906.0(11),	q_min	917.0(13),	tm_mes	8.2,	tm_mes	6.6,
		tm_max	13.1,	tm_max	12.6,	tm_max	13.2,	tm_max	16.7,			np_010	3.0	np_010	1.0	tm_max	13.4,	tm_max	11.8,
		q_min	918.3(01),	q_min	910.5(25),	q_min	912.7(01),	q_min	932.2(13),			{		{		q_min	915.0(17),	q_min	908.1(04),
		np_010	0.0	np_010	3.0	np_010	2.0	np_010	0.0							np_010	4.0	np_010	5.0
		{		{		{		{								{		{	

ANEXO II

Entronque

Figura 1. Entronque.

Malla electrosoldada: $A = 2\ m \cdot 1{,}20\ m$

$$A = 2{,}40\ m^2$$

Volumen de cemento: $V = 2{,}40\ m^2 \cdot 15\ cm$

$$V = 0{,}36\ m^3$$

Baches

$$\boldsymbol{V = \frac{2}{3} \cdot \pi \cdot r^2 \cdot h}\ (1)$$

Figura 2. Bache 1.

$$V = \frac{2}{3} \cdot \pi \cdot 23{,}5^2 \cdot 4$$

$$V = 4626{,}5\ cm^3$$

Figura 3. Bache 2.

$$V = \frac{2}{3} \cdot \pi \cdot 17^2 \cdot 4$$

$$V = 2421\ cm^3$$

Figura 4. Bache 3.

$$V = \frac{2}{3} \cdot \pi \cdot 27{,}5^2 \cdot 6$$

$$V = 9503{,}3\ cm^3$$

Figura 5. Bache 4.

$$V = \frac{2}{3} \cdot \pi \cdot 14{,}5^2 \cdot 3{,}5$$

$$V = 1541\ cm^3$$

Figura 6. Bache 5.

$$V = \frac{2}{3} \cdot \pi \cdot 26^2 \cdot 8$$

$$V = 11326{,}5\ cm^3$$

Figura 7. Bache 6.

$$V = \frac{2}{3} \cdot \pi \cdot 40^2 \cdot 7$$

$$V = 23457\ cm^3$$

Figura 8. Bache 7.

$$V = \frac{2}{3} \cdot \pi \cdot 28{,}5^2 \cdot 7$$

$$V = 11908\ cm^3$$

Figura 9. Bache 8.

$$V = \frac{2}{3} \cdot \pi \cdot 25{,}5^2 \cdot 6$$

$$V = 8171{,}3\ cm^3$$

Figura 10. Bache 9.

$$V = \frac{2}{3} \cdot \pi \cdot 36{,}5^2 \cdot 6$$

$$V = 16741{,}5\ cm^3$$

Figura 11. Bache 10.

$$V = \frac{2}{3} \cdot \pi \cdot 26{,}5^2 \cdot 6$$

$$V = 8824{,}7 cm^3$$

Figura 12. Bache 11.

$$V = \frac{2}{3} \cdot \pi \cdot 20{,}5^2 \cdot 7$$

$$V = 6161{,}2\ cm^3$$

Figura 13. Bache 12.

$$V = \frac{2}{3} \cdot \pi \cdot 40^2 \cdot 8$$

$$V = 26808{,}3\ cm^3$$

Figura 14. Bache 13.

$$V = \frac{2}{3} \cdot \pi \cdot 40^2 \cdot 10$$

$$V = 33510{,}3\ cm^3$$

$$V_{total\ baches} = 4626{,}5 + 2421 + 9503{,}3 + 1541 + 11326{,}5 + 23457 + 11908 + 8171{,}3 + 16741{,}5 + 8824{,}7 + 6161{,}2 + 26808{,}3 + 33510{,}3$$

$$V_{total\ baches} = 165000{,}6\ cm^3$$

$$V_{total\ baches} = 0{,}1650006\ m^3 \rightarrow 0{,}400\ m^3$$

ANEXO III

Datos:

- Tiempo de percepción (tp): 1,5 s
- Tiempo de reacción (tr): 1 s
- Camino llano
- Coeficiente de rozamiento (r) longitudinal a 80 km/h: 0,348 (*carreteros.org*, s. f.)
- Velocidad (V) de la carretera: 80 km/h = 22,22 m/s
- Aceleración de la gravedad (g): 9,81 m/s^2

Fórmula:

$$dpr = V \cdot (tp + tr) + \frac{V^2}{2 \cdot g \cdot r} \text{ (1)}$$

$$dpr = 22{,}22 \cdot (1{,}5 + 1) + \frac{22{,}22^2}{2 \cdot 9{,}81 \cdot 0{,}348}$$

$$dpr = 127{,}88\, m \approx \mathbf{128\ m}$$

Figura 1. Distancia hasta el obstáculo por la parte derecha. Fuente: © Institut Cartogràfic Valencià

Figura 2. Distancia hasta el obstáculo por la parte izquierda. Fuente: © Institut Cartogràfic Valencià

Distancia de parada suficiente y segura en ambos sentidos.

Cálculo para 110 km/h:

$$dpr = 30{,}5 \cdot (1{,}5 + 1) + \frac{30{,}5^2}{2 \cdot 9{,}81 \cdot 0{,}348}$$

$$dpr = 212{,}49m \approx \mathbf{213\ m}$$

Esta distancia ya no sería segura con esta velocidad, por la parte derecha (figura 1).

ANEXO IV

- *Rosmarinus officinalis:*

Figura 1. *Rosmarinus officinalis*. Fuente: http://herbarivirtual.uib.es/

- *Thymus vulgaris:*

Figura 2. *Thymus vulgaris*. Fuente: http://herbarivirtual.uib.es/

- *Lavandula stoechas:*

Figura 3. *Lavandula stoechas*. Fuente: http://herbarivirtual.uib.es/

- *Lavandula angustifolia:*

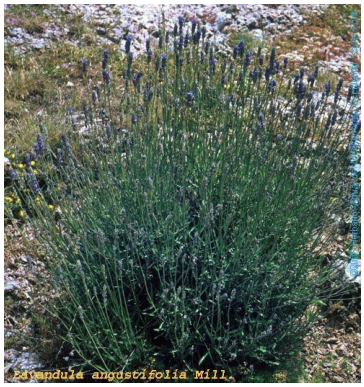

Figura 4. *Lavandula angustifolia.* Fuente: http://herbarivirtual.uib.es/

- *Ficus carica:*

Figura 5. *Ficus carica.* Fuente: http://herbarivirtual.uib.es/

- *Olea europaea:*

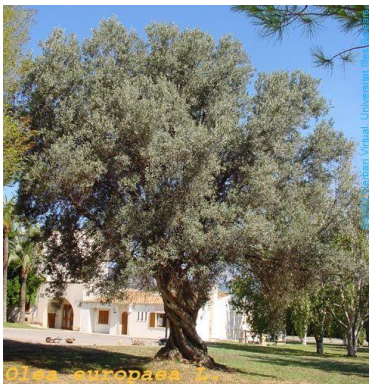

Figura 6. *Olea europaea.* Fuente: http://herbarivirtual.uib.es/

- *Vitis vinífera:*

Figura 7. *Vitis vinífera*. Fuente: http://herbarivirtual.uib.es/

- *Pinus halepensis:*

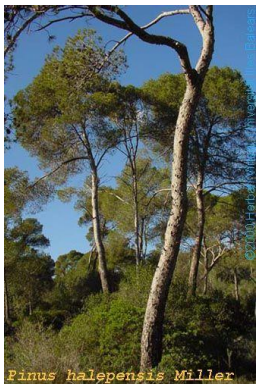

Figura 8. *Pinus halepensis.* Fuente: http://herbarivirtual.uib.es/

- *Pinus pinea:*

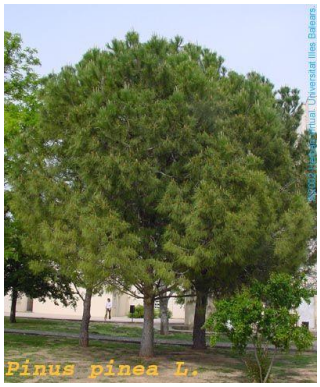

Figura 9. *Pinus pinea.* Fuente: http://herbarivirtual.uib.es/

- *Sambucus nigra:*

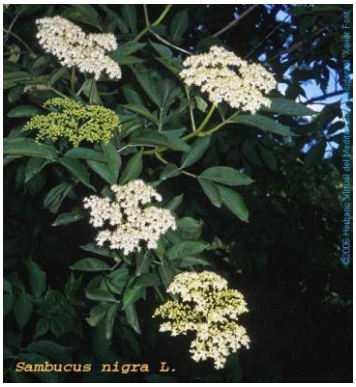

Figura 10. *Sambucus nigra*. Fuente: http://herbarivirtual.uib.es/

- *Phillyrea angustifolia:*

Figura 11. *Phillyrea angustifolia*. Fuente: http://herbarivirtual.uib.es/

- *Crataegus monogyna:*

Figura 12. *Crataegus monogyna*. Fuente: http://herbarivirtual.uib.es/

- *Pistacia lentiscus:*

Figura 13. *Pistacia lentiscus*. Fuente: http://herbarivirtual.uib.es/

- *Rhamnus alaternus:*

Figura 14. *Rhamnus alaternus*. Fuente: http://herbarivirtual.uib.es/

- *Quercus coccifera:*

Figura 15. *Quercus coccifera*. Fuente: http://herbarivirtual.uib.es/

- *Viburnum tinus:*

Figura 16. *Viburnum tinus*. Fuente: http://herbarivirtual.uib.es/

- *Ruscus aculeatus:*

Figura 17. *Ruscus aculeatus*. Fuente: http://herbarivirtual.uib.es/

- *Arbutus unedo:*

Figura 18. *Arbutus unedo*. Fuente: http://herbarivirtual.uib.es/

- *Juniperus oxycedrus* subsp. *oxycedrus:*

Figura 19. *Juniperus oxycedrus* subsp. *oxycedrus*. Fuente: http://herbarivirtual.uib.es/

- *Lonicera implexa:*

Figura 20. *Lonicera implexa*. Fuente: http://herbarivirtual.uib.es/

- *Quercus ilex* subsp. *ballota*:

Figura 21. *Quercus ilex* subsp. *ballota*. Fuente: http://herbarivirtual.uib.es/

- *Celtis australis:*

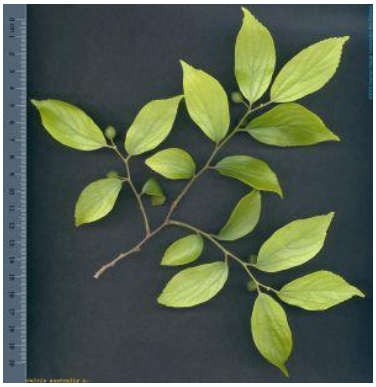

Figura 22. *Celtis australis*. Fuente: http://herbarivirtual.uib.es/

- *Fraxinus ornus:*

Figura 23. *Fraxinus ornus*. Fuente: http://herbarivirtual.uib.es/

ANEXO V

Romero(cas) , **romer**(val)

Rosmarinus officinalis

El romero es una de las plantas mediterráneas más conocidas por su tradición como planta culinaria y medicinal. Las hojas son lineares, duras y con el envés blanquecino porque está cubierto de pelos. También es muy conocida por su tradición como planta culinaria y medicinal. Las hojas son lineares, duras y con el envés blanquecino porque está cubierto de pelos. Las flores azules con dos labios bien marcados son muy características. Puede florecer todo el año, pero en la naturaleza suele tener una floración en otoño y otra a principios de la primavera.

Fotografías e información obtenidas del **Herbari Virtual del Mediterrani Occidental**

Espacio verde“ **El Pontón**”

Itinerario botánico de especies mediterráneas

Localización EV en Utiel

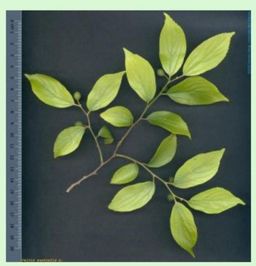

Fotografías de las especies del itinerario botánico

Todas las fotografías han sido obtenidas del **Herbari Virtual del Mediterrani Occidental**

ANEXO VI

Código	Ud	Resumen	Rendimiento	Precio unitario	Importe
I15005	m^2	Malla electrosoldada ME 15x15 ø 6-6 mm, B500T, colocada			
O01004	h	Oficial especialista	0,012	25,6	0,31
O01009	h	Peón	0,012	21,82	0,26
P01049	m^2	Malla electrosoldada ME 15x15 ø 6-6 mm, B500T (p.o.)	1,10	2	2,2
P01045	kg	Alambre (p.o.)	0,01	1,48	0,01
M01020	h	Camión volquete grúa 101/130 CV	0,01	33,32	0,23
					3,01
					7,22 €

Código	Ud	Resumen	Rendimiento	Precio unitario	Importe
I08020	m^2	Firme con grava-emulsión, "in situ", D<= 20km			
P02025	m^3	Zahorra artificial ZA 0/20 (p.o.)	0,27	14,14	3,82
I02026	m^3	Carga mecánica, transporte D<= 5 m	0,27	0,51	0,14
I08009	t	Emulsión bituminosa catiónica C60B5	0,01	349,67	1,75
I08001	m^2	Construcción firme de grava-emulsión "in situ"	1,00	1,16	1,16
I08015	m^2	Riego para tratamientos asfálticos superficiales	1,00	0,18	0,18
I08016	m^3	Gravilla A 5/2, 6/3 y 10/5, aplicada, D<=20 km	0,01	31,52	0,32
					7,37 €
					2,95 €

Código	Ud	Resumen	Rendimiento	Precio unitario	Importe
I14002	m^3	Hormigón no estructural HNE-15/spb/40, árido machacado, "in situ", D<=20 km			
O01009	h	Peón	3	21,82	65,46
P01006	t	Cemento CEM II/A-V 42,5 R a granel (p.o.)	0,245	31,81	22,49
P02001	m^3	Arena (p.o.)	0,41	15,3	6,3
P02009	m^3	Grava (p.o.)	0,83	14,31	11,88
P01001	m^3	Agua (p.o.)	0,18	0,96	0,17
M02015	h	Hormigonera fija 250 l	0,50	27,06	15,53
					121,83 €
					43,86 €

Código	Ud	Resumen	Rendimiento	Precio unitario	Importe
F11001	Ud	Señal Tipo CN-00 INFORMATIVA. Instalación de soporte y colocación			
O01004	h	Oficial especialista	1,5	25,6	38,4
O01009	h	Peón	3	21,82	65,46
M01020	h	Camión volquete grúa 101/130 CV	1,25	33,32	41,65
P38003	ud	Soporte de madera para señal tipo CN00	1,00	828,14	828,14
F11025	ud	Contenido señal tipo CN-00	1,00	330,8	330,8
F11031	ud	Maquetación señal tipo CN-00	1,00	355,18	355,18
I09057	m^3	Excavación manual para pozo de cimentación de señales	0,50	58,48	29,24
I14002	m^3	Hormigón no estructural HNE-15/spb/40, árido machacado, "in situ", D<=20 km	0,50	119,83	59,92
I14030	m^3	Puesta en obra hormigón volúmenes aislados < 1 m^3	0,50	30,55	15,28
					1.764,07 €

Código	Ud	Resumen	Rendimiento	Precio unitario	Importe
F11037	m	Talanquera simple de madera instalada			
O01004	h	Oficial especialista	0,7	25,04	17,53
O01009	h	Peón	0,7	22,11	15,48
M01020	h	Camión volquete grúa 101/130 CV	0,16	35,51	5,79
P38003	ud	Poste torneado de madera de pino tratada en autoclave uso IV, ø 12 cm, altura 1 m (p.o.)	0,50	6,44	3,22
F11025	ud	Poste torneado de madera de pino tratada en autoclave uso IV, ø 10 cm, altura 2 m (p.o.)	0,50	8,94	4,47
F11031	ud	Abrazadera y cuatro tornillos de acero galvanizado	0,50	1,91	0,96
I09057	m^3	Excavación manual para pozo de cimentación de señales	0,03	59,25	1,9
I14002	m^3	Hormigón en masa HM-20/spb/40 I, árido machacado, "in situ", D<=20 km	0,03	126,24	4,04
I14030	m^3	Puesta en obra hormigón volúmenes aislados < 1 m^3	0,03	30,95	0,99
					54,38 €
					23.356,21 €

Código	Ud	Resumen	Rendimiento	Precio unitario	Importe
F11040	m	Poste final talanquera simple de madera			
O01004	h	Oficial especialista	0,42	25,04	10,52
O01009	h	Peón	0,42	22,11	9,29
M01020	h	Camión volquete grúa 101/130 CV	0,06	35,51	2,24
P38003	ud	Poste torneado de madera de pino tratada en autoclave uso IV, ø 12 cm, altura 1 m (p.o.)	1,00	6,44	6,44
F11031	ud	Abrazadera y cuatro tornillos de acero galvanizado	1,00	1,91	1,91
I09057	m^3	Excavación manual para pozo de cimentación de señales	0,06	59,25	3,79
I14007	m^3	Hormigón en masa HM-20/spb/40 I, árido machacado, "in situ", D<=20 km	0,06	126,24	8,08
I14030	m^3	Puesta en obra hormigón volúmenes aislados < 1 m^3	0,06	30,95	1,98
					44,25 €
					354,00 €

Código	Ud	Resumen	Rendimiento	Precio unitario	Importe
F11050	m	Aparcabicis simple en u invertida de madera instalado			
O01004	h	Oficial especialista	0,9	25,6	23,04
O01009	h	Peón	0,9	21,82	19,64
P06040	ud	Poste torneado de madera de pino tratada en autoclave uso IV, ø 8 cm, altura 2 m (p.o.)	1,00	5,71	5,71
P06036	ud	Poste torneado de madera de pino tratada en autoclave uso IV, ø 8 cm, altura 1,5 m (p.o.)	0,50	4,29	2,15
M01020	h	Camión volquete grúa 101/130 CV	0,19	33,32	6,33
P02007	m^3	Gravilla A 5/2, 6/3 y 10/5 mm (p.o.)	0,02	17,03	0,27
I09057	m^3	Excavación manual para pozo de cimentación de señales	0,13	58,48	7,49
I14002	m^3	Hormigón no estructural HNE-15/spb/40, árido machacado, "in situ", D<=20 km	0,13	119,83	15,34
I14030	m^3	Puesta en obra hormigón volúmenes aislados < 1 m^3	0,13	30,55	3,91
					83,88 €

Código	Ud	Resumen	Rendimiento	Precio unitario	Importe
F11049	m	Banco de madera rústico instalado			
O01004	h	Oficial especialista	1,00	25,6	25,6
O01009	h	Peón	1,00	21,82	21,82
M01020	h	Camión volquete grúa 101/130 CV	1,00	33,32	33,32
P01048	kg	Acero B500S/SD (500 N/mm^2 límite elástico) (p.o.)	1,60	0,66	1,06
P38029	ud	Banco de listones de mandera tratada	1,00	273,36	273,36
I09057	m^3	Excavación manual para pozo de cimentación de señales	0,25	58,48	14,84
P02007	m^3	Gravilla A 5/2, 6/3 y 10/5 mm (p.o.)	0,17	17,03	2,96
I14002	m^3	Hormigón no estructural HNE-15/spb/40, árido machacado, "in situ", D<=20 km	0,25	119,83	30,41
I14030	m^3	Puesta en obra hormigón volúmenes aislados < 1 m^3	0,25	30,55	7,75
					411,12 €
					6.166,80 €

REPOSICIÓN

Código	Ud	Resumen	Rendimiento	Precio unitario	Importe
F11049	m	Banco de madera rústico instalado			
O01004	h	Oficial especialista	1,00	25,6	25,6
O01009	h	Peón	1,00	21,82	21,82
M01020	h	Camión volquete grúa 101/130 CV	1,00	33,32	33,32
P01048	kg	Acero B500S/SD (500 N/mm^2 límite elástico) (p.o.)	1,60	0,66	1,06
P38029	ud	Banco de listones de mandera tratada	1,00	273,36	273,36
I09057	m^3	Excavación manual para pozo de cimentación de señales	0,25	58,48	14,84
P02007	m^3	Gravilla A 5/2, 6/3 y 10/5 mm (p.o.)	0,17	17,03	2,96
I14002	m^3	Hormigón no estructural HNE-15/spb/40, árido machacado, "in situ", D<=20 km	0,25	119,83	30,41
I14030	m^3	Puesta en obra hormigón volúmenes aislados < 1 m^3	0,25	30,55	7,75
					411,12 €
					411,12 €

Código	Ud	Resumen	Rendimiento	Precio unitario	Importe
F11049	Ud	Mesa c/bancos de listones de madera tratada sin respaldo			
O01004	h	Oficial especialista	1,25	25,6	32
O01009	h	Peón	1,25	21,82	27,28
M01020	h	Camión volquete grúa 101/130 CV	1,25	33,32	41,65
P38028	ud	Mesa c/bancos de listones de madera tratada sin respaldo	1,00	356,64	356,64
P01049	m^2	Malla electrosoldada ME 15x15 ø 6-6 B500T (p.o.)	4,86	2	9,72
P01048	kg	Acero B500S/SD (500 N/mm^2 límite elástico) (p.o.)	2,86	0,66	1,89
P02007	m^3	Gravilla A 5/2, 6/3 y 10/5 mm (p.o.)	0,24	17,03	4,14
P01044	kg	Puntas (p.o.)	0,65	2,38	1,55
I09057	m^3	Excavación manual para de pozo para cimentación de señales	0,73	58,48	42,46
I14002	m^3	Hormigón no estructural HNE-15/spb/40, árido machacado, "in situ", D<=20 km	0,73	119,83	87,00
I14030	m^3	Puesta en obra hormigón volúmenes aislados < 1 m^3	0,73	30,55	22,18
					626,51 €
					1.879,53 €

Piedras tipo rocalla 175 €/ud (jaula 1 t)
1.400,00 €

Bolardo plegable 38,2 €/ud
76,40 €

Código	Ud	Resumen	Rendimiento	Precio unitario	Importe
F11037	m	Talanquera simple de madera instalada			
O01004	h	Oficial especialista	0,7	25,04	17,53
O01009	h	Peón	0,7	22,11	15,48
M01020	h	Camión volquete grúa 101/130 CV	0,16	35,51	5,79
P38003	ud	Poste torneado de madera de pino tratada en autoclave uso IV, ø 12 cm, altura 1 m (p.o.)	0,50	6,44	3,22
F11025	ud	Poste torneado de madera de pino tratada en autoclave uso IV, ø 10 cm, altura 2 m (p.o.)	0,50	8,94	4,47
F11031	ud	Abrazadera y cuatro tornillos de acero galvanizado	0,50	1,91	0,96
I09057	m^3	Excavación manual para pozo de cimentación de señales	0,03	59,25	1,9
I14002	m^3	Hormigón en masa HM-20/spb/40 I, árido machacado, "in situ", D<=20 km	0,03	126,24	4,04
I14030	m^3	Puesta en obra hormigón volúmenes aislados < 1 m^3	0,03	30,95	0,99
					54,38 €
					6.579,98 €

Código	Ud	Resumen	Rendimiento	Precio unitario	Importe
F11040	m	Poste final talanquera simple de madera			
O01004	h	Oficial especialista	0,42	25,04	10,52
O01009	h	Peón	0,42	22,11	9,29
M01020	h	Camión volquete grúa 101/130 CV	0,06	35,51	2,24
P38003	ud	Poste torneado de madera de pino tratada en autoclave uso IV, ø 12 cm, altura 1 m (p.o.)	1,00	6,44	6,44
F11031	ud	Abrazadera y cuatro tornillos de acero galvanizado	1,00	1,91	1,91
I09057	m^3	Excavación manual para pozo de cimentación de señales	0,06	59,25	3,79
I14007	m^3	Hormigón en masa HM-20/spb/40 I, árido machacado, "in situ", D<=20 km	0,06	126,24	8,08
I14030	m^3	Puesta en obra hormigón volúmenes aislados < 1 m^3	0,06	30,95	1,98
					44,25 €
					88,50 €

Código	Ud	Resumen	Rendimiento	Precio unitario	Importe
F01149	Ud	Apertura hoyo 100x100x100 suelo s- t.pendiente < 30%			
M01057	h	Retroexcavadoraa oruga hidráulica 717100 CV	0,02	59,85	1,20 €
					43,20 €

Código	Ud	Resumen	Rendimiento	Precio unitario	Importe
F01151	Ud	Apertura hoyo 60x60x60 suelo s- t.pendiente < 30%			
M01057	h	Retroexcavadora oruga hidráulica 71/100 CV	0,02	59,85	1,20 €
					36,00 €

Código	Ud	Resumen	Rendimiento	Precio unitario	Importe
F01132	Ud	Tapado hoyos 60x60 suelo suelto-trán. densidad < 700 hoyos/ha			
O01009	h	Peón	0,028	22,11	0,62 €
O01007	h	Jefe de cuadrilla forestal	0,004	23,55	0,09 €
					0,71 €
					46,86 €

Papelera de madera básica ud 98,15 €

1.079,65 €

REPOSICIÓN

Papelera de madera básica ud 98,15 €

98,15 €

Pavimento de caucho 60 €/m²	
	5.160,00 €

Castillo de madera infantil	
	2.000,00 €

Camión cisterna riego agua 101/130 CV km	
	992,00 €

Código	Ud	Resumen	Rendimiento	Precio unitario	Importe
	h	Riego del espacio verde			
O01009	h	Peón	24,938	22,11	551,38 €
O01007	h	Jefe de cuadrilla forestal	3,563	23,55	83,91 €
M01009		Camión cisterna riego agua 101/130 CV		28,88	433,20 €
					1.068,49 €
					16.027,35 €

Código	Ud	Resumen	Rendimiento	Precio unitario	Importe
F02143	1000	Realización de alcorque			
O01009	h	Peón	24,938	22,11	551,38 €
O01007	h	Jefe de cuadrilla forestal	3,563	23,55	83,91 €
					635,29 €
					41,93 €

Código	Ud	Resumen	Rendimiento	Precio unitario	Importe
F04060	ha	Roza con motodesbrozadora. Ø basal <3cm, cc <50%, pendiente >50%			
O01009	h	Peón con motodesbrozadora	181,087	20,06	3.632,61 €
O01007	h	Jefe de cuadrilla forestal	25,869	21,16	547,39 €
					4.180,00 €
					200,64 €

Código	Ud	Resumen	Rendimiento	Precio unitario	Importe
F04068	ha	Roza con motodesbrozadora. Ø basal 3-6cm, cc >80%, pendiente >50%			
O01009	h	Peón con motodesbrozadora	30,227	21,85	660,46 €
O01007	h	Jefe de cuadrilla forestal	4,218	21,16	91,37 €
					751,83 €
					405,54 €

Código	Ud	Resumen	Rendimiento	Precio unitario	Importe
F02144	mil	Aporte de abono en plantaciones			
O01009	h	Peón	3,74	22,11	82,69 €
O01007	h	Jefe de cuadrilla forestal	0,534	23,55	12,58 €
					95,27 €
					6,29 €

Código	Ud	Resumen	Rendimiento	Precio unitario	Importe
F05048	pie	Poda formación choperas, altura poda <=1,8 m			
O01009	h	Peón	0,017	22,11	0,38 €
O01007	h	Jefe de cuadrilla forestal	0,002	23,55	0,05 €
					0,43 €
					28,38 €

Especies vegetales

Unidades	Resumen UO	Precio	Importe
ud	*Rosmarinus officinalis*	8 €	48 €
ud	*Thymus vulgaris*	8 €	56 €
ud	*Lavandula stoechas*	8 €	56 €
ud	*Lavandula latifolia*	8 €	56 €
ud	*Pinus pinea*	12 €	24 €
ud	*Pinus halepensis*	12 €	24 €
ud	*Ficus carica*	8 €	16 €
ud	*Olea europaea*	16 €	64 €
ud	*Vitis vinifera*	8 €	16 €
ud	*Sambucus nigra*	16 €	16 €
ud	*Phillyrea angustifolia*	16 €	16 €
ud	*Crataegus monogyna*	16 €	32 €
ud	*Rhamnus alaternus*	16 €	32 €
ud	*Pistacia lentiscus*	12 €	24 €
ud	*Quercus coccifera*	8 €	16 €
ud	*Viburnum tinus*	16 €	32 €
ud	*Ruscus aculeatus*	18 €	18 €
ud	*Arbutus unedo*	18 €	18 €
ud	*Juniperus oxycedus* subsp. *oxycedrus*	16 €	16 €
ud	*Lonicera implexa*	18 €	36 €
ud	*Quercus ilex* subsp. *ballota*	12 €	36 €
ud	*Celtis australis*	16 €	48 €
ud	*Fraxinus ornus*	16 €	32 €

REPOSICIÓN

Especies vegetales
131 €